20V 入力、8A 降圧 DC/DC µModule レギュレータ

特長

- **実装面積が1cm²(片面PCB)または 0.5cm²(両面PCB)以内の全機能内蔵型ソリューション**
- **6.25mm×6.25mm×3.87mm BGAパッケージ**
- 広い入力電圧範囲:3.1V～20V
- 出力電圧範囲:0.5V～5.5V
- DC出力電流:8A
- 入力、負荷、温度の全範囲での全DC出力電圧誤差:最大±1.5%
- 差動リモート検出アンプ
- 電流モード制御、高速過渡応答
- 外部周波数同期
- 複数のLTM4657によるマルチフェーズ並列電流分担
- 出力電圧のトラッキング
- 不連続モードを選択可能
- パワーグッド・インジケータ
- 過電圧保護、過電流保護、過熱保護
- LTM4626(12A)およびLTM4638(15A)とピン互換

アプリケーション

- 通信機器、データ通信機器、ネットワーク機器、および産業用機器
- 医療診断機器
- データ・ストレージ・ラック装置およびカード
- テスト・システムおよびデバッグ・システム

概要

LTM®4657は、小型の6.25mm×6.25mm×3.87mm BGAパッケージに収容された全機能内蔵型8A降圧スイッチング・モードµModule(マイクロモジュール)レギュレータです。スイッチング・コントローラ、パワーFET、インダクタ、および周辺部品がパッケージに搭載されています。LTM4657は、3.1V～20Vの入力電圧範囲で動作し、0.5V～5.5Vの出力電圧範囲をサポートしており、出力電圧は1本の外付け抵抗で設定されます。高効率設計により、最大8Aの連続出力電流を供給します。必要なのは入力と出力のバルク・コンデンサだけです。

LTM4657は、選択可能な不連続モード動作と、出力電圧トラッキングによる電源レールのシーケンス制御をサポートしています。高いスイッチング周波数と電流モード制御により、安定性を損なうことなく入力および負荷の変動に対する極めて高速な過渡応答が可能です。

障害保護機能には、過電圧保護、過電流保護、過熱保護が含まれます。

LTM4657は、SnPbまたはRoHS準拠の端子仕上げで供給されます。

全ての登録商標および商標の所有権は、それぞれの所有者に帰属します。

標準的応用例

8A、1.0V出力のDC/DC µModule® 降圧レギュレータ

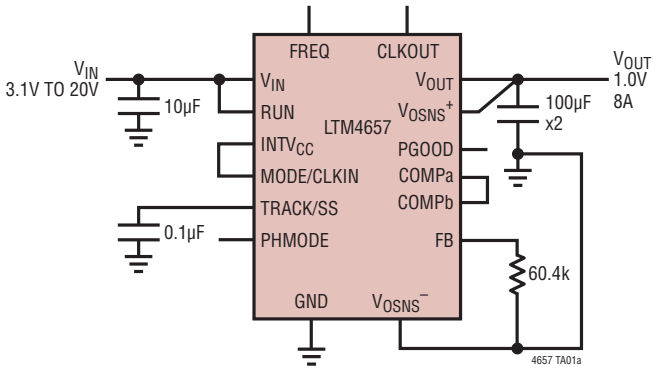

VOUT = 1Vでの効率と負荷電流

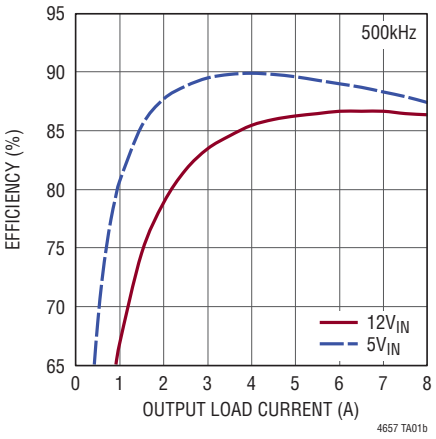

絶対最大定格

(Note 1)

V_{IN} .....–0.3V～22V
V_{OUT} .....–0.3V～6V
$INTV_{CC}$ .....–0.3V～3.6V
RUN.....–0.3V～22V
PGOOD、FREQ、COMPa、COMPb、
PHMODE、CLKOUT、FB .....–0.3V～3.6V
MODE/CLKIN、TRACK/SS ..... –0.3V～$INTV_{CC}$
V_{OSNS}^+.....–0.3V～6V
V_{OSNS}^-.....–0.3V～0.3V
内部動作温度範囲
(Note 2、3).....–40°C～125°C
保存温度範囲.....–55°C～125°C
ハンダ・リフローのピーク・ボディ温度 ..... 250°C

ピン配置

(ピン機能、ピン配置の表を参照)

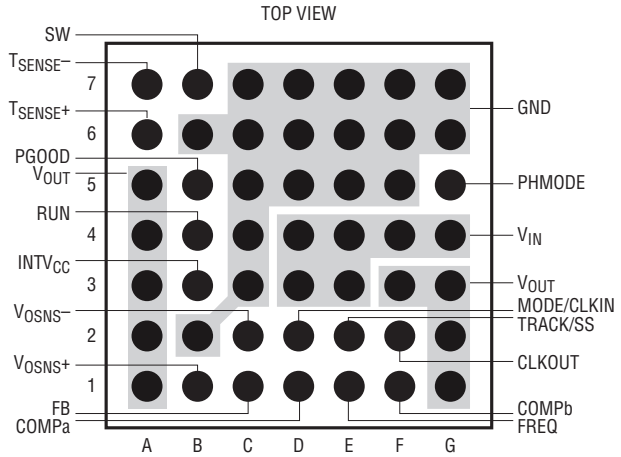

BGA PACKAGE
49-LEAD (6.25mm × 6.25mm × 3.87mm)

T_{JMAX} = 125°C, θ_{JA} = 17°C/W,
θ_{JCTOP} = 9.4°C/W, $\theta_{JCBOTTOM}$ = 4.0°C/W

NOTE:
1) θ VALUES ARE DETERMINED BY SIMULATION PER JESD51 CONDITIONS.
2) θ_{JA} VALUE IS OBTAINED WITH DEMO BOARD.
3) REFER TO PAGE 19 FOR LAB MEASUREMENT AND DE-RATING INFORMATION.
4) WEIGHT = 497mg

発注情報

製品番号	パッド／ボール仕上げ	製品マーキング*		パッケージ・タイプ	MSL 定格	温度範囲 (Note 2)
		デバイス	仕上げコード			
LTM4657EY#PBF	SAC305 (RoHS)	LTM4657Y	e1	BGA	3.	–40°C～+125°C
LTM4657IY#PBF	SAC305 (RoHS)	LTM4657Y	e1	BGA	3.	–40°C～+125°C

- 更に広い動作温度範囲で規定されるデバイスについては、弊社または弊社代理店にお問い合わせください。*パッドまたはボールの仕上げコードはIPC/JEDEC J-STD-609に準拠しています。
- 推奨されるLGA/BGAのPCBアセンブリおよび製造方法
- LGA/BGAパッケージおよびトレイの図面

電気的特性

●は規定された全内部動作温度範囲の規格値を意味する(Note 2)。それ以外はT_A = 25°Cでの値。V_{IN} = 12V、1ページ目に示す標準的応用例の構成による。

SYMBOL	PARAMETER	CONDITIONS		MIN	TYP	MAX	UNITS
スイッチング・レギュレータ部:チャンネル当たり							
V_{IN}	Input DC Voltage	V_{IN}	●	3.1		20	V
V_{OUT}	Output Voltage Range		●	0.5		5.5	V
$V_{OUT(DC)}$	Output Voltage, Total Variation with Line and Load	C_{IN} = 22µF, C_{OUT} = 100µF Ceramic, R_{FB} = 30.2k, MODE = $INTV_{CC}$, I_{OUT} = 0A to 8A (Note 3) –40°C to 125°C	●	1.477	1.50	1.523	V
V_{RUN}	RUN Pin On Threshold	V_{RUN} Rising		1.05	1.20	1.35	V

電気的特性

●は規定された全内部動作温度範囲の規格値を意味する（Note 2）。それ以外はT_A = 25°Cでの値。V_{IN} = 12V、1ページ目に示す標準的応用例の構成による。

SYMBOL	PARAMETER	CONDITIONS		MIN	TYP	MAX	UNITS
$I_{Q(VIN)}$	Input Supply Bias Current	V_{IN} = 12V, V_{OUT} = 1.5V, MODE = $INTV_{CC}$ V_{IN} = 12V, V_{OUT} = 1.5V, MODE = GND Shutdown, RUN = 0, V_{IN} = 12V			70 18 70		mA mA µA
$I_{S(VIN)}$	Input Supply Current	V_{IN} = 12V, V_{OUT} = 1.5V, I_{OUT} = 8A			1.15		A
$I_{OUT(DC)}$	Output Continuous Current Range	（V_{IN} = 12V、V_{OUT} = 1.5V）		0		8	A
ΔV_{OUT} (Line)/V_{OUT}	Line Regulation Accuracy	V_{OUT} = 1.5V, V_{IN} = 3.1V to 20V, I_{OUT} = 0A	●		0.04	0.15	%
ΔV_{OUT} (Load)/V_{OUT}	Load Regulation Accuracy	V_{OUT} = 1.5V, I_{OUT} = 0A to 8A	●		0.2	1.2	%
$V_{OUT(AC)}$	Output Ripple Voltage	I_{OUT} = 0A, C_{OUT} = 100µF Ceramic, V_{IN} = 12V, V_{OUT} = 1.5V			5		mV
$\Delta V_{OUT(START)}$	Turn-On Overshoot	I_{OUT} = 0A, C_{OUT} = 100µF Ceramic, V_{IN} = 12V, V_{OUT} = 1.5V			30		mV
t_{START}	Turn-On Time	C_{OUT} = 100µF Ceramic, No Load, TRACK/SS = 0.01µF, V_{IN} = 12V, V_{OUT} = 1.5V			2.5		ms
ΔV_{OUTLS}	Peak Deviation for Dynamic Load	Load: 0% to 50% to 0% of Full Load, C_{OUT} = 47µF Ceramic, V_{IN} = 12V, V_{OUT} = 1.5V			160		mV
t_{SETTLE}	Settling Time for Dynamic Load Step	Load: 0% to 50% to 0% of Full Load, C_{OUT} = 47µF Ceramic, V_{IN} = 12V, V_{OUT} = 1.5V			40		µs
I_{OUTPK}	Output Current Limit	（V_{IN} = 12V、V_{OUT} = 1.5V）			13		A
V_{FB}	Voltage at FB Pin	I_{OUT} = 0A, V_{OUT} = 1.5V	●	0.495	0.50	0.505	V
I_{FB}	Current at FB Pin	(Note 4)				±50	nA
R_{FBHI}	Resistor Between V_{OUT} and FB Pins			60.05	60.40	60.75	kΩ
$I_{TRACK/SS}$	Track Pin Soft-Start Pull-Up Current	TRACK/SS = 0V			6	10	µA
$V_{IN(UVLO)}$	V_{IN} Undervoltage Lockout	V_{IN} Falling V_{IN} Hysteresis		2.5	2.7 250	2.9	V mV
$t_{ON(MIN)}$	Minimum On-Time	(Note 4)			25		ns
$t_{OFF(MIN)}$	Minimum Off-Time	(Note 4)			50		ns
V_{PGOOD}	PGOOD Trip Level	V_{FB} With Respect to Set Output V_{FB} Ramping Negative V_{FB} Ramping Positive		 –11 5	 –8 8	 –5 11	 % %
I_{PGOOD}	PGOOD Leakage					2	µA
V_{PGL}	PGOOD Voltage Low	I_{PGOOD} = 1mA			0.02	0.1	V
V_{INTVCC}	Internal V_{CC} Voltage	V_{IN} = 4V to 20V		3.2	3.3	3.4	V
f_{OSC}	Oscillator Frequency				500		kHz

Note 1：絶対最大定格に記載された値を超えるストレスはデバイスに永続的損傷を与える可能性がある。また、長期にわたって絶対最大定格条件に曝すと、デバイスの信頼性と寿命に悪影響を与える恐れがある。

Note 2：LTM4657はT_JがT_Aにほぼ等しいパルス負荷条件でテストされる。LTM4657Eは、0°C～125°Cの内部動作温度範囲で性能仕様に適合することが確認されている。–40°C～125°Cの内部動作温度範囲での仕様は設計、特性評価および統計学的なプロセス・コントロールとの相関で確認されている。LTM4657Iは–40°C～125°Cの全内部動作温度範囲で仕様に適合することが確認されている。これらの仕様を満たす最大周囲温度は、基板レイアウト、パッケージの定格熱抵抗および他の環境要因と関連した特定の動作条件によって決まることに注意。

Note 3：異なるV_{IN}、V_{OUT}、およびT_Aについては出力電流のディレーティング曲線を参照。

Note 4：ウェーハ・レベルで全数テストされる。

代表的な性能特性

効率と負荷電流 3.3V入力

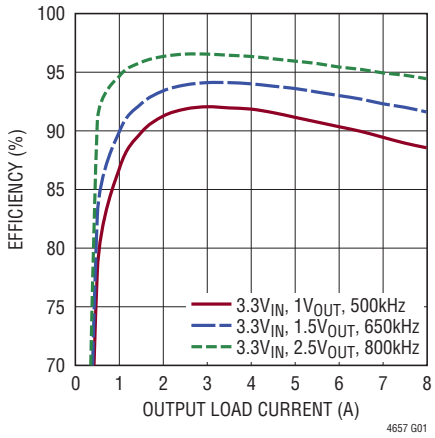

効率と負荷電流 5V入力

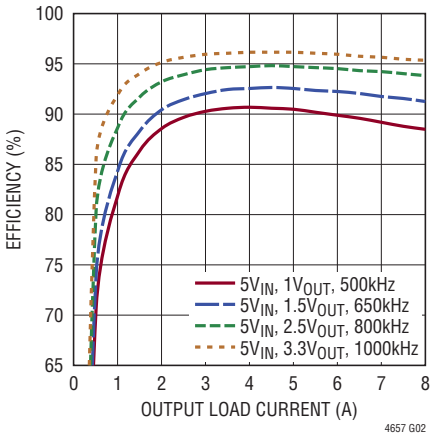

効率と負荷電流 12V入力

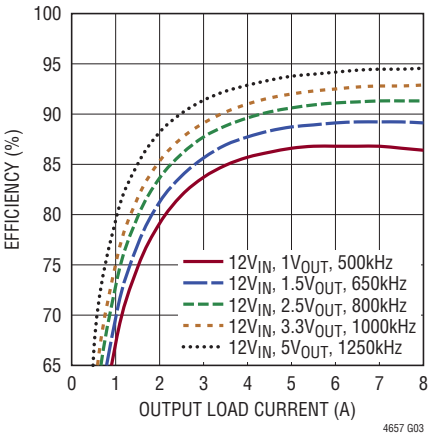

1V出力の過渡応答

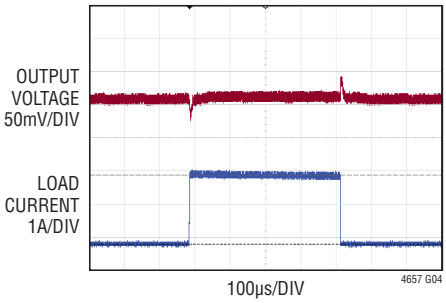

V_{IN} = 12V, V_{OUT} = 1V, f_{SW} = 500kHz,
C_{OUT} = 2× 100µF + 22µF CERAMIC CAP;
COMPa = COMPb
C_{FF} = 100pF

1.5V出力の過渡応答

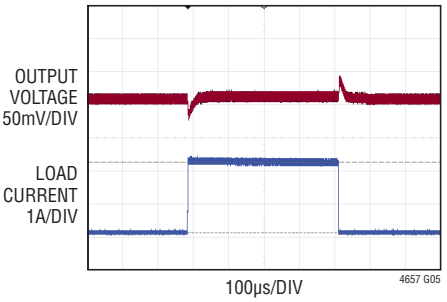

V_{IN} = 12V, V_{OUT} = 1.5V, f_{SW} = 650kHz,
C_{OUT} = 2× 100µF + 22µF CERAMIC CAP;
COMPa = COMPb
C_{FF} = 100pF

2.5V出力の過渡応答

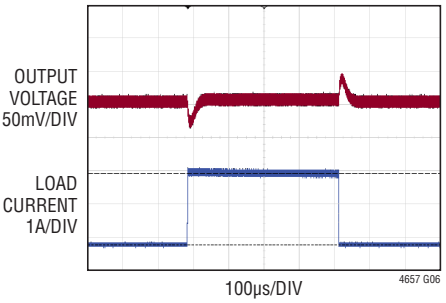

V_{IN} = 12V, V_{OUT} = 2.5V, f_{SW} = 800kHz,
C_{OUT} = 2× 100µF + 22µF CERAMIC CAP;
COMPa = COMPb
C_{FF} = 100pF

3.3V出力の過渡応答

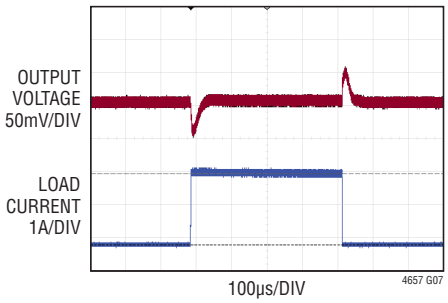

V_{IN} = 12V, V_{OUT} = 3.3V, f_{SW} = 1000kHz,
C_{OUT} = 2× 100µF + 22µF CERAMIC CAP;
COMPa = COMPb
C_{FF} = 100pF

5V出力の過渡応答

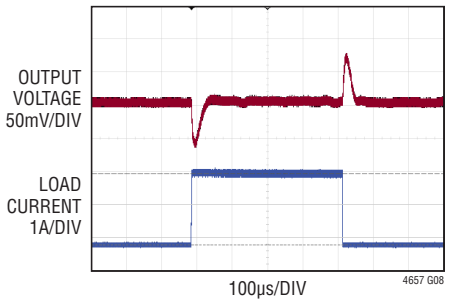

V_{IN} = 12V, V_{OUT} = 5V, f_{SW} = 1250kHz,
C_{OUT} = 2× 100µF + 22µF CERAMIC CAP;
COMPa = COMPb
C_{FF} = 100pF

代表的な性能特性

無負荷電流での起動

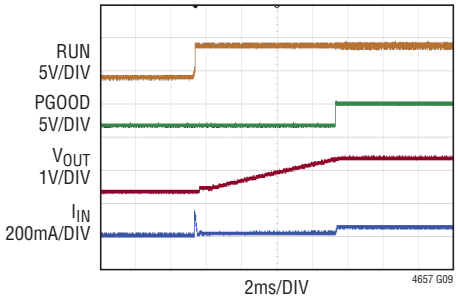

V_{IN} = 12V, V_{OUT} = 1V, f_{SW} = 500kHz,
C_{OUT} = 2× 100µF + 22µF CERAMIC CAP;
COMPa = COMPb
C_{FF} = 100pF, MODE: CCM, I_{OUT} = 0A

負荷電流8Aでの起動

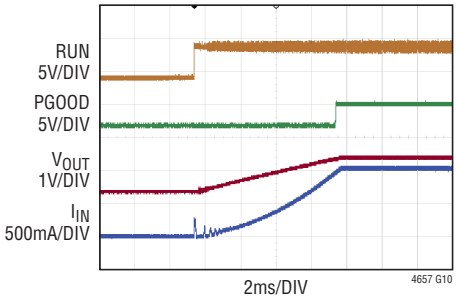

V_{IN} = 12V, V_{OUT} = 1V, f_{SW} = 500kHz,
C_{OUT} = 2× 100µF + 22µF CERAMIC CAP;
COMPa = COMPb
C_{FF} = 100pF, MODE: CCM, I_{OUT} = 8A

無負荷電流での短絡

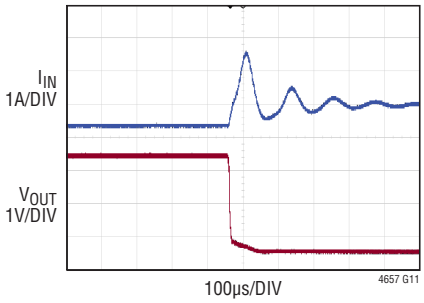

V_{IN} = 12V, V_{OUT} = 1.5V, f_{SW} = 650kHz,
C_{OUT} = 2× 100µF + 22µF CERAMIC CAP;
COMPa = COMPb
C_{FF} = 100pF

負荷電流8Aでの短絡

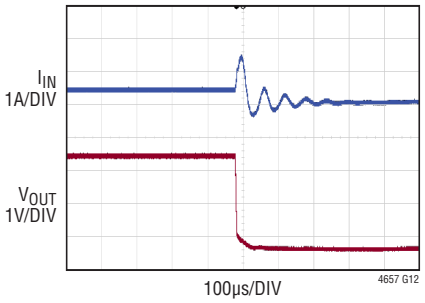

V_{IN} = 12V, V_{OUT} = 1.5V, f_{SW} = 650kHz,
C_{OUT} = 2× 100µF + 22µF CERAMIC CAP;
COMPa = COMPb
C_{FF} = 100pF

定常状態での出力電圧リップル

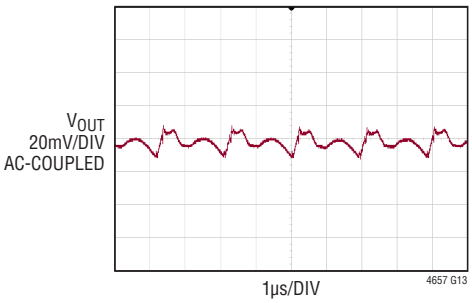

V_{IN} = 12V, V_{OUT} = 1V, f_{SW} = 500kHz,
C_{OUT} = 2× 100µF + 22µF CERAMIC CAP;
COMPa = COMPb
C_{FF} = 100pF, MODE: CCM, I_{OUT} = 8A
MEASURED ACROSS 22µF CERAMIC CAP

出力がプリバイアスされた状態での起動

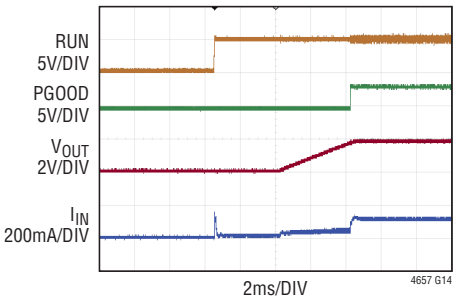

V_{IN} = 12V, V_O = 1.2V TO 3.3V, f_{SW} = 1000kHz,
C_{OUT} = 2× 100µF + 22µF CERAMIC CAP;
COMPa = COMPb
C_{FF} = 100pF, MODE: CCM, I_O = 0A

ピン機能

パッケージの行と列のラベルはµModule製品間で異なります。各パッケージのレイアウトをよく確認してください。

V_{OUT}（A1～A5、F3、G1～G3）：スイッチング・モード・レギュレータの電源出力ピン。これらのピンとGNDピンの間に出力負荷を接続します。出力デカップリング・コンデンサはこれらのピンとGNDピンの間に直接配置することを推奨します。出力の並列接続については、アプリケーション情報のセクションを参照してください。

COMPb（F1）：内部ループ補償回路網。大多数のアプリケーションでは、内部補償回路を使用するため、COMPaに接続します。

FREQ（E1）：スイッチング周波数の設定ピン。周波数は内部で500kHzに設定されます。外付け抵抗をこのピンとGNDピンの間に接続して周波数を高くするか、またはこのピンと$INTV_{CC}$の間に接続して周波数を低くすることができます。周波数の調整については、アプリケーション情報のセクションを参照してください。

COMPa（D1）：スイッチング・モード・レギュレータ・チャンネルの電流制御閾値およびエラーアンプ補償点。内部電流コンパレータの閾値は、この電圧に直線的に比例します。並列動作を行うには、別のチャンネルとの間でCOMPaピンを互いに接続します。このデバイスは内部補償されています。内部補償回路を使用するには、COMPbに接続します。または、タイプIIのC-R-Cネットワークに接続して、カスタマイズされた補償回路を使用します。

FB（C1）：スイッチング・モード・レギュレータのエラーアンプの負入力。このピンは内部で60.4kΩの高精度抵抗を介してV_{OSNS}^+に接続されています。FBピンとV_{OSNS}^-ピンの間に抵抗を追加して、出力電圧を設定できます。PolyPhase® 動作では、FBピンを相互接続することによって並列動作が可能になります。詳細については、アプリケーション情報のセクションを参照してください。

V_{OSNS}^+（B1）：差動リモート検出アンプの非反転入力。このピンは内部で60.4k 0.5%の高精度抵抗を介してFBに接続されています。詳細については、アプリケーション情報のセクションを参照してください。

PHMODE（G5）：スイッチング・モード・レギュレータの位相セレクタへの制御入力。内部発振器とCLKOUTピンの間の位相関係を決めます。2相動作の場合はこのピンを$INTV_{CC}$に接続し、3相動作の場合はGNDに接続し、4相動作の場合は$INTV_{CC}$/2に接続します。詳細については、アプリケーション情報のセクションを参照してください。

TRACK/SS（E2）：スイッチング・モード・レギュレータの出力トラッキング／ソフトスタート・ピン。このピンを使うと、出力電圧の立上がり時間を制御できます。このピンの電圧が0.5Vより低くなると、エラーアンプへの内部リファレンス入力がバイパスされ、代わりにFBピンがTRACKピンの電圧にサーボ制御されます。0.5Vより高くなるとトラッキング機能が停止し、内部リファレンスによるエラーアンプの制御が再開されます。このピンには$INTV_{CC}$から 6µAのプルアップ電流が流れるので、このピンにコンデンサを接続すると、ソフトスタート機能を実現できます。詳細については、アプリケーション情報のセクションを参照してください。

MODE/CLKIN（D2）：不連続モード選択ピン、および位相検出器への外部同期入力ピン。不連続動作モードにするには、MODE/CLKINをGNDに接続します。MODE/CLKINをフロート状態にするか、1Vを超える電圧に接続すると、強制連続モードが選択されます。更に、MODE/CLKINピンを外部クロックに接続すると、システム・クロックが外部クロックに同期して、デバイスは強制連続モードになります。詳細については、アプリケーション情報のセクションを参照してください。

V_{OSNS}^-（C2）：差動リモート検出アンプの反転入力。FBピンとV_{OSNS}^-ピンの間に外付け抵抗を接続して、特定のチャンネルの出力電圧を設定します。詳細については、アプリケーション情報のセクションを参照してください。

CLKOUT（F2）：PolyPhase動作の出力クロック信号。CLKINを基準にしたCLKOUTの位相は、PHMODEピンの状態によって決まります。CLKOUTでのピークtoピークの振幅範囲は$INTV_{CC}$からGNDまでです。詳細については、アプリケーション情報のセクションを参照してください。

ピン機能

V_{IN}（D3～D4、E3～E4、F4、G4）：電源入力ピンは内部の上側MOSFETのドレインに接続しており、V_{IN}は各スイッチング・モード・レギュレータ・チャンネルの制御回路用の内部3.3Vレギュレータに接続しています。これらのピンとGNDピンの間に入力電圧を印加します。入力デカップリング・コンデンサはV_{IN}ピンとGNDピンの間に直接配置することを推奨します。

$INTV_{CC}$（B3）：スイッチング・モード・レギュレータ・チャンネルの内部3.3Vレギュレータ出力。内部パワー・ドライバおよび制御回路はこの電圧から電力を供給されます。2.2µF以上のローカルの低ESRセラミック・コンデンサを使用して、各ピンをGNDにデカップリングします。

RUN（B4）：実行制御入力ピン。特定のRUNピンを1.2Vより高い電圧に接続することにより、レギュレータの動作をイネーブルします。このピンを1.1Vより低い電圧に接続すると、レギュレータの特定のチャンネルがシャットダウンします。

T_{SENSE}^+（A6）：温度モニタ・ピン。内部のダイオード接続PNPトランジスタがT_{SENSE}^+ピンとT_{SENSE}^-ピンの間に配置されています。アプリケーション情報のセクションを参照してください。

GND（B2、B6、C3～C7、D5～D7、E5～E7、F5～F7、G6～G7）：入力帰路と出力帰路の両方の電源グラウンド・ピン。PCBの銅箔面積を広くして、全てのGNDを互いに接続します。

PGOOD（B5）：オープンドレインのロジック回路を備えた出力パワーグッド・ピン。FBピンの電圧が内部0.5Vリファレンスの±8%以内に入らない場合、PGOODはグラウンド電位になります。

T_{SENSE}^-（A7）：内部温度モニタの低電位側。

SW（B7）：テスト目的で使われる各チャンネルのスイッチング・ノード。RCスナバ回路ネットワークを接続して、スイッチ・ノードのリンギングを低減または除去することもできます。それ以外の場合はフロート状態のままにします。アプリケーション情報のセクションを参照してください。

ブロック図

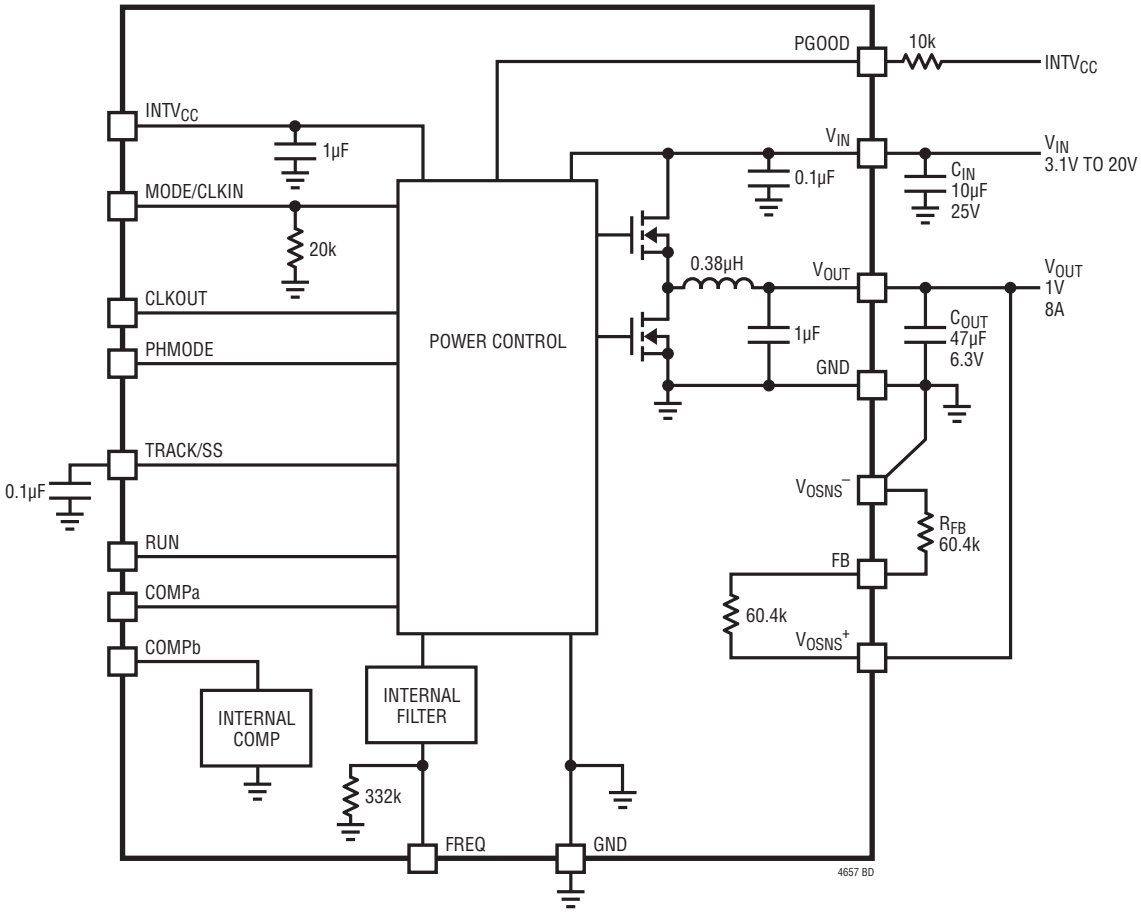

図1. LTM4657の簡略ブロック図

デカップリング条件

SYMBOL	PARAMETER	CONDITIONS	MIN	TYP	MAX	UNITS
C_{IN}	External Input Capacitor Requirement (V_{IN} = 3.1V to 20V, V_{OUT} = 1.0V)	I_{OUT} = 8A	10	22		µF
C_{OUT}	External Output Capacitor Requirement (V_{IN} = 3.1V to 20V, V_{OUT} = 1.0V)	I_{OUT} = 8A	150*	330*		µF

*バイアス電圧と温度の全範囲にわたる実容量の変動が原因で、極端な温度条件あるいはコンデンサのバイアス電圧条件の下では、追加容量が必要になる場合があります。

動作

LTM4657は、独立した非絶縁型のスイッチ・モードDC/DC電源です。数個の入力コンデンサと出力コンデンサを外付けすることで、最大8AのDC出力電流を供給できます。このモジュールは、3.1V～20Vの入力電圧範囲にわたり、1個の外付け抵抗によって0.5V～5.5Vの範囲で調整可能な高精度の安定化出力電圧を供給します。標準的応用例の回路図を図23に示します。

LTM4657は、オン時間一定の谷電流モード・レギュレータ、パワーMOSFET、インダクタ、その他のディスクリート周辺部品を内蔵しています。デフォルトのスイッチング周波数は500kHzです。スイッチング・ノイズの影響を受けやすいアプリケーションでは、スイッチング周波数を外付け抵抗によって調整できます。また、µModuleレギュレータは、設定周波数の±30%以内の範囲で外部からクロックに同期することができます。アプリケーション情報のセクションを参照してください。

電流モード制御と内部帰還ループ補償により、LTM4657モジュールは、広範囲の出力コンデンサを使って(全てセラミック出力コンデンサを使用する場合でも)十分に余裕のある安定性と良好なトランジェント性能を達成します。

電流モード制御により、各サイクルごとに高速電流制限が行われます。内蔵の出力過電圧コンパレータと低電圧コンパレータは、出力帰還電圧がレギュレーション点の上下±8%の範囲から外れると、オープンドレインのPGOOD出力をローにします。OV状態とUV状態の間は連続動作が強制されます。ただし、TRACKピンの電圧が0.5Vまで上昇している起動時は除きます。

更に、内部のパワーMOSFETデバイスをトランジェント電圧スパイクから保護するため、LTM4657はV_{IN}ピンの電圧を絶えずモニタして、過電圧状態の有無を検査します。V_{IN}が24.5Vより高くなると、レギュレータは上下両側のパワーMOSFETをオフして動作を一時停止します。V_{IN}が21.5Vより低くなると、レギュレータは直ちに通常動作を再開します。過電圧状態が解消されると、レギュレータはソフトスタート機能を実行しません。

マルチフェーズ動作を採用するのは、同期制御と位相モード制御を使用すれば簡単です。PHMODEピンを異なるレベルにプログラムすることにより、最大6相をカスケード接続し、互いを基準にして同時に動作させることができます。LTM4657はMODE/CLKINピンとCLKOUTピンを備えており、複数デバイスのPolyPhase動作または周波数同期に対応します。

RUNピンの電圧をGNDまで下げると、コントローラは強制的にシャットダウン状態になり、上下両側のパワーMOSFETとほとんどの内部制御回路はオフします。軽負荷電流では、MODE/CLKINピンの電圧をGNDまで下げることにより、不連続モード(DCM)動作をイネーブルして、連続モード(CCM)に比べて高い効率を達成できます。TRACK/SSピンは電源トラッキングとソフトスタートの設定に使用されます。アプリケーション情報のセクションを参照してください。

アプリケーション情報

LTM4657の標準的なアプリケーション回路を図23に示します。外部部品の選択は主に、入力電圧、出力電圧、および最大負荷電流で決まります。個々のアプリケーションに対する外付けコンデンサの具体的な条件については、表7を参照してください。

V_{IN} から V_{OUT} への降圧比

レギュレータには最小オフ時間と最小オン時間の制限があるので、所定の入力電圧で実現可能な V_{IN} と V_{OUT} との最大降圧比には制約があります。最小オフ時間の制限によって最大デューティ・サイクルが決まり、その値は次のように計算できます。

$$D_{MAX} = 1 - (t_{OFF(MIN)} \bullet f_{SW})$$

ここで、$t_{OFF(MIN)}$ は最小オフ時間で、LTM4657の代表値は50nsであり、f_{SW} (Hz) はスイッチング周波数です。反対に、最小オン時間の制限によってコンバータの最小デューティ・サイクルが決まり、その値は次のように計算できます。

$$D_{MIN} = t_{ON(MIN)} \bullet f_{SW}$$

ここで、$t_{ON(MIN)}$ は最小オン時間であり、LTM4657の代表値は25nsです。最小デューティ・サイクルを超える稀なケースでは、出力電圧はレギュレーション状態に留まりますが、スイッチング周波数は設定値より減少します。更にサーマル・ディレーティングが適用される可能性があることに注意してください。このデータシートの熱に関する検討事項と出力電流のディレーティングのセクションを参照してください。

出力電圧のプログラミング

PWMコントローラには0.5Vの内部リファレンス電圧があります。ブロック図に示すように、60.4kの内部帰還抵抗が V_{OUT} ピンとFBピンを互いに接続しています。FBピンと V_{OSNS}^- の間に抵抗 R_{FB} を追加すると、出力電圧は次のように設定されます。

$$R_{FB} = \frac{0.5V}{V_{OUT} - 0.5V} \bullet 60.4k$$

表1. 各種の出力電圧に対する抵抗 R_{FB} の表

V_{OUT} (V)	0.5	1.0	1.2	1.5	1.8	2.5	3.3	5.0
R_{FB} (kΩ)	OPEN	60.4.	43.2	30.1	23.2	15	10.7	6.65

複数チャンネルの並列動作の場合は、並列接続の設計に同じ帰還設定抵抗を使用できます。このためには、図2に示すように、V_{OSNS}^+ を出力に接続することにより、内部抵抗60.4kのいずれかを出力に接続すれば済みます。図2に示すように、全ての V_{FB} ピンをまとめて1つのプログラミング抵抗に接続します。

並列動作の例については、図25を参照してください。

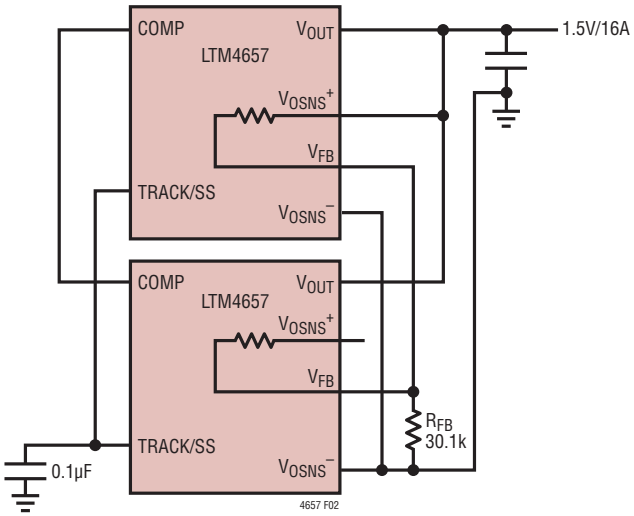

図2. 2相並列構成

入力デカップリング・コンデンサ

LTM4657モジュールは低ACインピーダンスのDC電源に接続します。このレギュレータでは、RMSリップル電流のデカップリングのため、10µFの入力セラミック・コンデンサが1つ必要です。バルク入力容量が必要なのは、長い誘導性のリード線やパターン、または電源の容量不足によって入力信号源インピーダンスが損なわれる場合だけです。バルク・コンデンサは、アルミ電解コンデンサでもポリマー・コンデンサでもかまいません。

インダクタのリップル電流を考慮しない場合、入力コンデンサのRMS電流は次のように概算できます。

$$I_{CIN(RMS)} = \frac{I_{OUT(MAX)}}{\eta\%} \bullet \sqrt{D \bullet (1-D)}$$

ここで、η% は電源モジュールの推定効率です。

出力デカップリング・コンデンサ

LTM4657は高い周波数と広い帯域幅に合わせて設計が最適化されているので、低ESRの出力セラミック・コンデンサを

アプリケーション情報

1つ取り付けるだけで、低い出力リップル電圧と非常に良好な過渡応答を実現できます。極端に低温または高温の場合や、出力電圧が高い場合は、バイアス電圧と温度の全範囲にわたる実容量の変動が原因で、追加のセラミック・コンデンサまたはポリマータンタル・コンデンサが必要です。2Aの負荷ステップ・トランジェント発生時の電圧低下やオーバーシュートを最小限に抑えるための様々な出力電圧と出力コンデンサの一覧を表7に示します。出力リップルや動的トランジェント・スパイクを更に低減する必要がある場合は、システム設計者が出力フィルタを追加することが必要になる可能性があります。LTpowerCAD™設計ツールをオンラインでダウンロードして入手し、出力リップル、安定性、過渡応答解析による更なる最適化を目指すことができます。

不連続電流モード(DCM)

電流が中程度のときに低出力リップルと高効率が求められるアプリケーションでは、MODE/CLKINピンをGNDに接続して、不連続電流モード(DCM)を使用します。軽負荷では、内部の電流コンパレータが数サイクルにわたって作動したままになり、上側MOSFETが数サイクルにわたって強制的にオフになるために、サイクルをスキップすることがあります。インダクタ電流は、このモードでは反転しません。

強制連続電流モード(CCM)

低電流での効率より周波数固定の動作が重要で、更に出力リップルを最小限に抑えることが望ましいアプリケーションでは、強制連続動作を使用します。強制連続動作をイネーブルするには、MODE/CLKINピンを$INTV_{CC}$に接続します。このモードでは、インダクタ電流が低出力負荷の間反転可能で、COMPの電圧が電流コンパレータの閾値を常に制御し、上側のMOSFETは発振器のパルスごとに必ずオンします。起動時には、LTM4657の出力電圧が安定化されるまで、強制連続モードがディスエーブルされ、インダクタ電流の反転が防止されます。

動作周波数

LTM4657の動作周波数は、小型パッケージ・サイズと最小出力リップル電圧を達成し、なおかつ高い効率を維持するように最適化されています。デフォルトの動作周波数は500kHzです。ほとんどのアプリケーションでは、追加の周波数調整は必要ありません。

500kHz以外の動作周波数がアプリケーションによって要求される場合は、図24に示すように、FREQピンとGNDの間に抵抗R_{FSET}を追加して動作周波数を高くすることができます。動作周波数は次式で計算することができます。

$$f(Hz) = \frac{1.67 \bullet 10^{11}}{332k \,||\, R_{FSET}(\Omega)}$$

プログラマブルな動作周波数範囲は400kHz～3MHzです。

周波数同期とクロック入力

この電源モジュールには電圧制御発振器と位相検出器で構成されるフェーズロック・ループが内蔵されています。これにより、内部の上側MOSFETのターンオンを外部クロックの立ち上がりエッジにロックすることができます。外部クロックの周波数範囲は、抵抗設定の動作周波数を中心にして±30%以内にする必要があります。フェーズロック・ループをオンするには、パルス検出回路を使用してCLKINピンのクロックを検出します。クロックのパルス幅は100ns以上にする必要があります。クロックのハイ・レベルは1Vより高くする必要があり、クロックのロー・レベルは0.3Vより低くする必要があります。レギュレータの起動時、フェーズロック・ループ機能はディスエーブルされます。

マルチフェーズ動作

8Aを超える電流を出力負荷が必要とする場合は、複数のLTM4657を並列に接続して位相をずらして動作させ、入出力の電圧リップルを増やさずに出力電流を増やすことができます。

CLKOUT信号を後段のLTM4657のMODE/CLKINピンに接続して、システム全体の周波数と位相の両方を揃えることができます。PHMODEピンを$INTV_{CC}$またはGNDに接続するか、フロート状態にすると、(CLKINとCLKOUTの間に)それぞれ180°、120°、または90°の位相差が発生し、それぞれが2相、3相、または4相の動作に対応します。各LTM4657のPHMODEピンを異なるレベルにプログラムすることにより、全6相をカスケード接続し、互いに対して位相がずれた状態で同時に動作させることができます。クロックの位相制御を目的とした4相の設計例と6相の設計例を図3に示します。

表2. PHMODEピンのステータスと対応する位相の関係(CLKINが基準)

PHMODE	$INTV_{CC}$	GND	FLOAT
CLKOUT	180°	120°	90°

アプリケーション情報

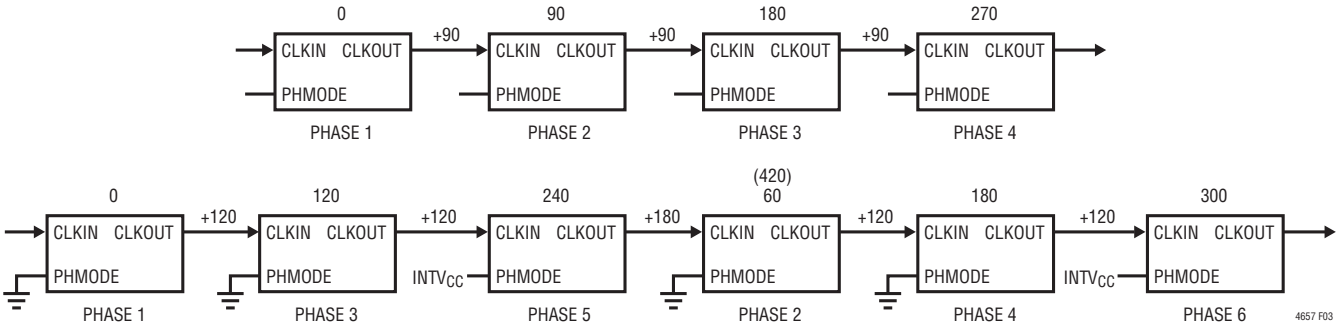

図3. 4相動作、6相動作

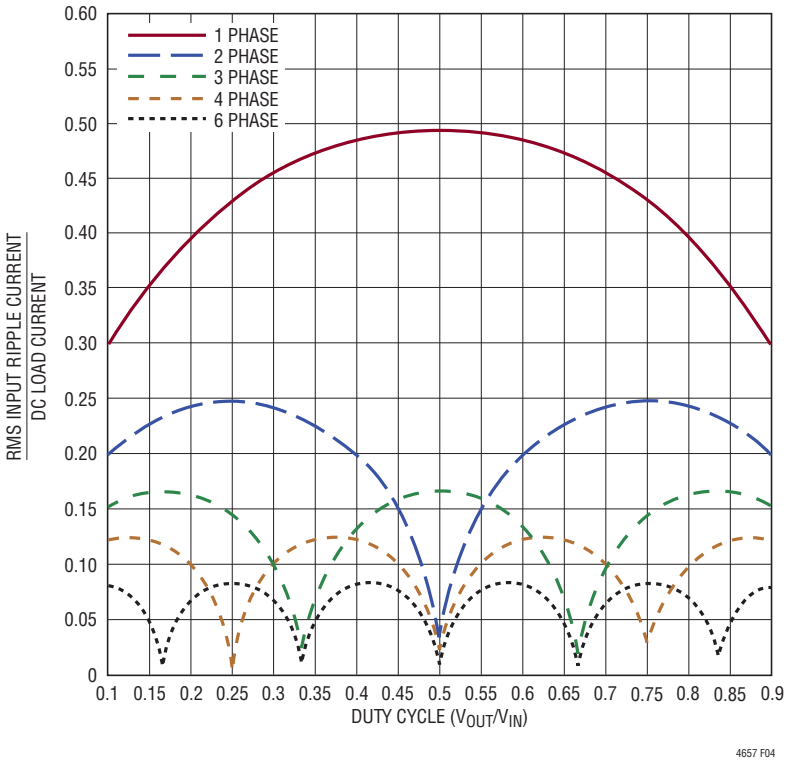

図4. DC負荷電流に対するRMS入力リップル電流の比のデューティ・サイクル依存性

マルチフェーズ電源では、入力と出力のどちらのコンデンサのリップル電流の量も大幅に減少します。RMS入力リップル電流は使用する位相数が増えると低減され、実効リップル周波数は位相数倍されます(入力電圧が、使用される位相数×出力電圧より大きいと仮定)。また、全ての出力を互いに接続して大電流のシングル出力設計を実現する場合は、使用する位相数によって出力リップルの振幅を低減できます。

LTM4657は本来、電流モードで制御されるデバイスなので、並列モジュールは非常に優れた電流分担特性を示します。このため、設計の発熱バランスがよくなります。並列接続する各チャンネルのRUN、TRACK/SS、FB、およびCOMPピンを互いに接続してください。図25に、並列動作とピン接続の例を示します。

アプリケーション情報

入力RMSリップル電流の相殺

マルチフェーズ動作はアプリケーション・ノート77で詳細に説明されています。入力RMSリップル電流の相殺を数学的に導出し、RMSリップル電流の減少を、インタリーブされた位相の数の関数として表したグラフを掲載しています。図4にこのグラフを示します。

ソフトスタートおよび出力電圧トラッキング

TRACK/SSピンによって、レギュレータをソフトスタートさせることも、別の電源をトラッキングさせることもできます。TRACK/SSピンに接続されたコンデンサにより、出力電圧の上昇率が設定されます。内部の6µA電流源が外付けのソフトスタート・コンデンサを充電し、その電圧は$INTV_{CC}$ピンの電圧に近づきます。TRACK/SSピンの電圧が0.5Vより低くなると、出力電圧の制御は0.5Vの内部リファレンス電圧に引き継がれます。ソフトスタートの合計時間は次のように計算できます。

$$t_{SS} = 0.5 \bullet \frac{C_{SS}}{6\mu A}$$

ここで、C_{SS}はTRACK/SSピンに接続されている容量です。電流フォールドバックと強制連続モードはソフトスタートの間ディスエーブルされます。

出力電圧のトラッキングはTRACK/SSピンを使用して外部から設定することもできます。出力を別のレギュレータに追従させて、その電圧を増減させることができます。スレーブ・レギュレータの出力スルー・レートがマスタのスルー・レートに比例する比例トラッキングの波形および回路図の例を図5および図6に示します。

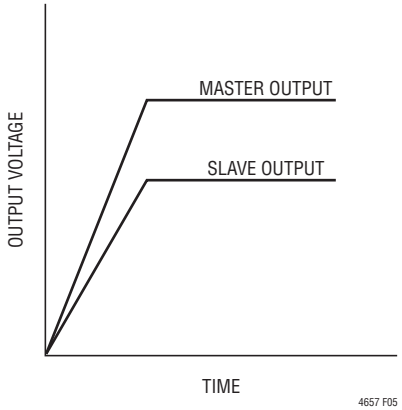

図5. 出力比例トラッキングの波形

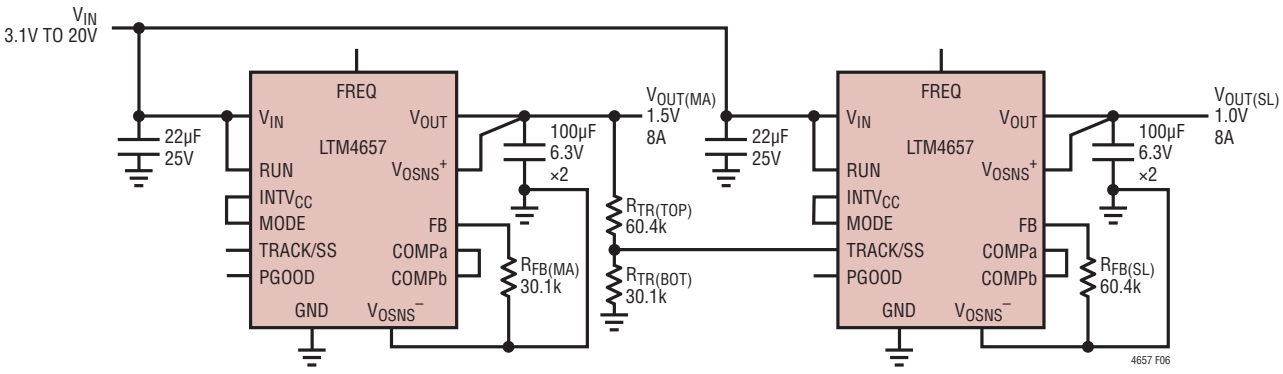

図6. 出力電圧比例トラッキングの回路例

アプリケーション情報

スレーブ・レギュレータのTRACK/SSピンは抵抗分圧器$R_{TR(TOP)}$/$R_{TR(BOT)}$を介してマスタの出力に接続されており、その電圧は、TRACK/SSピンの電圧が0.5Vより低いとき、スレーブの出力電圧を安定化するために使用されるので、スレーブの出力電圧とマスタの出力電圧は起動時に次の式を満たす必要があります。

$$V_{OUT(SL)} \bullet \frac{R_{FB(SL)}}{R_{FB(SL)} + 60.4k} =$$

$$V_{OUT(MA)} \bullet \frac{R_{TR(BOT)}}{R_{TR(TOP)} + R_{TR(BOT)}}$$

図6に示すように、$R_{FB(SL)}$は帰還抵抗であり、$R_{TR(TOP)}$/$R_{TR(BOT)}$はスレーブ・レギュレータのTRACK/SSピンに接続されている抵抗分圧器です。

前述の式に従うと、マスタの出力スルー・レート(MR)とスレーブの出力スルー・レート(SR)の比は、次式により求められます。

$$\frac{MR}{SR} = \frac{\dfrac{R_{FB(SL)}}{60.4k + R_{FB(SL)}}}{\dfrac{R_{TR(BOT)}}{R_{TR(TOP)} + R_{TR(BOT)}}}$$

例えば、$V_{OUT(MA)}$ = 1.5V、MR = 1.5V/1msおよび$V_{OUT(SL)}$ = 1.0V、SR = 1.0V/1msとします。前述の式から、$R_{TR(TOP)}$ = 60.4kおよび$R_{TR(BOT)}$ = 30.1kが比例トラッキングに適した組み合わせであると解くことができます。

TRACK/SSピンは、抵抗分圧器を使用してスレーブ・レギュレータにトラッキングを実装した場合、2µAの電流源をオンします。このため、TRACK/SSピンの入力にはオフセットが生じます。上式で計算した抵抗値と比が同じで、値がより小さな抵抗を使用してもかまいません。例えば、60.4kを使っている場合は、6.04kを使ってTRACK/SSピンのオフセットを無視できる値まで低減できます。

図7の波形に示すように、同時出力トラッキングは、マスタの出力スルー・レート(MR)がスレーブの出力スルー・レート(SR)と同じである特殊な比例出力トラッキングとしてとらえることができます。

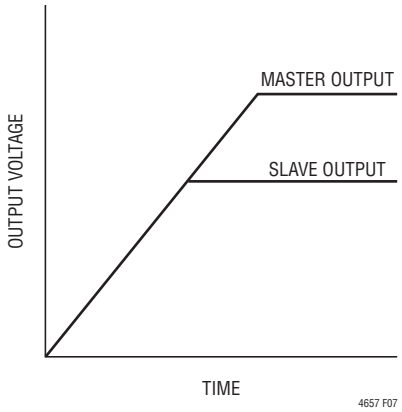

図7. 出力同時トラッキングの波形

式から容易に分かるように、同時トラッキングでは、スレーブ・レギュレータのTRACK/SSピンの抵抗分圧器が帰還抵抗分圧器と常に同じです。

$$\frac{R_{FB(SL)}}{R_{FB(SL)} + 60.4k} = \frac{R_{TR(BOT)}}{R_{TR(TOP)} + R_{TR(BOT)}}$$

例えば、$R_{TR(TOP)}$ = 60.4kおよび$R_{TR(BOT)}$ = 60.4kは、$V_{OUT(MA)}$ = 1.5Vおよび$V_{OUT(SL)}$ = 1.0Vのアプリケーションの同時トラッキングに適した組み合わせです。

パワーグッド

PGOODピンはオープンドレインのピンで、有効な出力電圧レギュレーションをモニタするのに使用できます。出力電圧がレギュレーション点の上下±8%の範囲を超えると、このピンはローになります。トランジェント時またはV_{OUT}の動的変化時にPGOODの不要なグリッチが発生しないように、LTM4657のPGOODの立下がりエッジにはスイッチング・サイクル約25回分のブランキング遅延が含まれています。

RUNイネーブル

RUNピンの電圧をグラウンド電位まで下げると、LTM4657は強制的にシャットダウン状態になり、上下両側のパワーMOSFETおよびほとんどの内部制御回路はオフします。RUNピンの電圧を0.6Vより高くすると、内部リファレンスだけがオンして、パワーMOSFETはオフに保たれます。RUNピンの電圧を1.2Vより高くすると、デバイス全体がオンします。

アプリケーション情報

プリバイアスされた出力での起動

状況によっては、出力コンデンサをある程度充電した状態で電源を起動することが必要です。LTM4657は、出力コンデンサを放電せずに、プリバイアスした状態で安全に起動できます。

LTM4657は、TRACK/SSピンの電圧が0.5Vのリファレンス電圧に達するまで不連続モード(DCM)の動作を強制することにより、これを実現します。これにより、プリバイアスされた出力での起動中にBGがオンして出力を放電することを防ぎます。

SWピンとスナバ回路

通常、SWピンはテスト時のモニタリング目的で使用します。また、SWピンは、スイッチング電流パスのLC寄生素子によって発生するスイッチ・ノード・リンギングを減衰させる目的にも使用できます。これには通常、スナバ回路と呼ばれる直列RC回路を使用します。抵抗が共振を減衰させるので、コンデンサには、抵抗両端に生じる高周波リンギングだけに作用する値を選択します。

浮遊インダクタンスまたは容量を測定できる場合、または近似値が既知の場合は、スナバ回路の値を選択するのにある程度解析的な手法を適用できます。通常は、インダクタンスの方が予測が容易です。電源経路のボード・インダクタンスとMOSFET相互接続ボンディング・ワイヤのインダクタンスを組み合わせた値になります。

はじめに、広帯域幅のオシロスコープと高周波のプローブによってSWピンをモニタします。これによって、リンギング周波数の値を測定できます。インピーダンスZは次式により計算できます。

$$Z_L = 2\pi \bullet f \bullet L$$

ここで、fはリンギングの共振周波数、Lはスイッチ経路の寄生インダクタンスの合計値です。この式のZに等しい抵抗を選べば、リンギングは減衰するはずです。スナバのコンデンサの値は、インピーダンスがリンギング周波数における抵抗に等しくなるように選択されます。次式で計算されます。

$$Z_C = \frac{1}{2\pi \bullet f \bullet C}$$

これらの値は初期値として妥当です。これらの部品の値を変更して、最小限の電力損失でリンギングを減衰するようにしてください。

安定性補償

LTM4657は、COMPbをCOMPaに接続した時点で、全ての出力電圧と、全てのセラミック・コンデンサ・アプリケーションを含むコンデンサの組み合わせに対して、内部で最適化と補償を既に実施済みです。全てのセラミック・コンデンサ・アプリケーションでは、22pF～47pFのフィードフォワード・コンデンサ(C_{FF})をV_{OUT}とV_{FB}ピンの間に接続して、十分な位相余裕を持つ広帯域幅の制御ループ補償を実現することが必要です。表7は、最適化された内部補償回路を使用するほとんどのアプリケーション条件を対象として示しています。個別の最適化条件がある場合は、COMPbをCOMPaから切り離して、COMPaとGNDの間にタイプIIのC-R-C補償ネットワークを適用し、外部補償を実現します。LTpowerCAD設計ツールをオンラインでダウンロードして入手し、制御ループを個別に最適化することや、制御の安定性と負荷過渡応答性能を解析することができます。

差動リモート検出アンプ

LTM4657は、遠隔の負荷点で出力電圧を正確に検出するため、高精度の差動リモート検出アンプを内蔵しています。これが特に当てはまるのは、負荷が大電流の場合です。V_{OSNS}^+とV_{OSNS}^-をリモート出力検出点で正しく接続することと、帰還抵抗R_{FB}をV_{FB}ピンとV_{OSNS}^-ピンの間に接続することが非常に重要です。参考のため、図23の回路図を確認してください。

マルチフェーズのシングル出力アプリケーションでは、必要な差動検出アンプと帰還抵抗は1組ずつだけですが、異なるチャンネルのRUN、TRACK/SS、V_{OUT}、V_{FB}、COMPaは互いに接続します。並列接続アプリケーションについては、図25を参照してください。

入力過電圧保護

内部のパワーMOSFETデバイスをトランジェント電圧スパイクから保護するため、LTM4657では各V_{IN}ピンを連続してモニタし、過電圧状態の有無を検査します。V_{IN}が24.5Vを超えると、レギュレータは対応するチャンネルの2つのパワーMOSFETを両方ともオフして、動作を一時停止します。V_{IN}が21.5Vより低くなると、レギュレータは直ちに通常動作を再開します。過電圧状態が解消されると、レギュレータはソフトスタート機能を実行します。

アプリケーション情報

温度のモニタリング

ダイオードの絶対温度は、次に示す古典的なダイオードの式によって表される、電流、電圧、温度間の関係を使って測定できます。

$$I_D = I_S \bullet e\left(\frac{V_D}{\eta \bullet V_T}\right)$$

or

$$V_D = \eta \bullet V_T \bullet \ln\frac{I_D}{I_S}$$

ここで、I_Dはダイオードの電流、V_Dはダイオードの電圧、ηは理想係数(通常は1.0に近い値)であり、I_S(飽和電流)はプロセスに依存するパラメータです。V_Tは、次のように書き換えることができます。

$$V_T = \frac{k \bullet T}{q}$$

ここでTはダイオードのジャンクション温度(単位:K)、qは電子電荷、kはボルツマン定数です。V_Tは室温(298K)で約26mVであり、絶対温度に対して線形に変化します。ダイオードが温度センサーに適しているのは、この温度に対する線形性のためです。上式のI_Sの項は、ダイオードの接合部を流れる電流を、ダイオード端子間の電圧が0Vになる点まで外挿した値です。I_Sの項はプロセス間や温度によってばらつきますが、その定義から常にI_Dより小さくする必要があります。すべての定数を1つの項にまとめると、次のようになります。

$$K_D = \frac{\eta \bullet k}{q}$$

ここで、$K_D = 8.62^{-5}$であり、$\ln(I_D/I_S)$は常に正になることが分かります。I_DはI_Sより常に大きいからです。これらのことから、次の式が得られます。

$$V_D = T(KELVIN) \bullet K_D \bullet \ln\frac{I_D}{I_S}$$

この式から、V_Dは温度と共に増加することが分かります。電流源がバイアスされたシリコン・ダイオードが、約–2mV/°Cの温度係数を持つことは周知の事実ですが(図8参照)、この結果は式とうまく整合が取れません。実際、I_Sの項が温度と共に増加し、$\ln(I_D/I_S)$の絶対値が減少することで、約–2mV/°Cの複合ダイオードの電圧スロープが得られます。

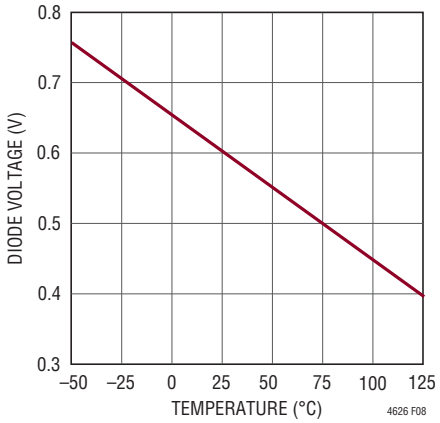

図8. ダイオード電圧V_Dと温度T(°C)

温度に比例する線形の電圧特性を得るために、自然対数の項のI_S変数を消去して、式1からI_Sの依存性を排除します。そのために、ダイオードの電圧を、2つの電流I_1とI_2で測定します。両者の間には$I_1 = 10 \bullet I_2$の関係があり、以下の式が得られます。

$$\Delta V_D = T(KELVIN) \bullet K_D \bullet IN\frac{I_1}{I_S} - T(KELVIN) \bullet K_D \bullet IN\frac{I_2}{I_S}$$

類似の項をまとめ、自然対数の項を簡単化すると、次式が得られます。

$$\Delta V_D = T(KELVIN) \bullet K_D \bullet \ln(10)$$

定数を次のように定義し直します。

$$K_D' = K_D \bullet IN(10) = \frac{198\mu V}{K}$$

式を書き換えると、次のようになります。

$$\Delta V_D = K'_D \bullet T(KELVIN)$$

これを温度について解きます。

$$T(KELVIN) = \frac{\Delta V_D}{K_D'}\ (°CELSIUS) = T(KELVIN) - 273.15$$

ここで、

300°K = 27°C

アプリケーション情報

これは、比率が10倍の2つの電流でダイオード両端の電圧を測定して、その差から接合部の絶対温度1Kあたり198μVの電圧と、0Kでの切片として0が得られたことを意味します。

T_{SENSE}^{+}ピンとT_{SENSE}^{-}ピンの間のダイオード接続NPNトランジスタを使用して、LTM4657の内部温度をモニタできます。

熱に関する検討事項と出力電流のディレーティング

このデータシートのピン配置のセクションに記載されている熱抵抗はJESD 51-12で定義されているパラメータと整合しており、有限要素解析(FEA)ソフトウェア・モデリング・ツールを併用することを想定しています。このツールは、熱モデリング、シミュレーションの他に、ハードウェア・テスト基板に実装したμModuleパッケージで実行したハードウェア評価に対する補正の結果を活用します。これらの熱係数を示す意図は、JESD 51-12(Guidelines for Reporting and Using Electronic Package Thermal Information)に記載されています。

多くの設計者は、様々な電気的および環境的動作条件で動作する実際のアプリケーションにおけるμModuleレギュレータの熱性能を予測するのに、実験室の装置およびデモボードのようなテスト手段の使用を選択して、FEAの作業を補強できます。FEAソフトウェアを使用しない場合、ピン配置のセクションに記載された熱抵抗は、それだけでは熱性能の目安を示すことになりません。むしろ、このデータシートに示されたディレーティング曲線を使った方が、アプリケーションへの適用方法に沿った見通しと参考情報が得られ、熱性能をユーザ独自のアプリケーションと対応付けるようにディレーティング曲線を適合させることができます。

ピン配置のセクションには、JESD 51-12に明示的に定義された4つの熱係数が記載されています。これらの係数は以下のように引用されるか言い換えられます。

1. θ_{JA}(接合部から周囲までの熱抵抗)は、1立方フィートの密閉された筐体内で測定された、接合部から自然対流する周囲の空気までの熱抵抗です。この環境は、自然対流により空気が移動しますが、「自然空冷」と呼ばれることがあります。この値は、95mm×76mmの4層PCBに実装された部品によって決まります。
2. $\theta_{JCbottom}$(接合部から製品のケースの底面までの熱抵抗)は、パッケージの底面を通って流れ出す部品の全消費電力によって決まります。標準的なμModuleレギュレータでは、熱の大半がパッケージの底面から流出しますが、周囲の環境への熱の流出が必ず発生します。その結果、この熱抵抗値はパッケージの比較には役立ちますが、このテスト条件は一般にアプリケーションに合致しません。
3. θ_{JCtop}(接合部から製品のケースの上面までの熱抵抗)は、部品のほぼ全消費電力がパッケージの上面を通って流れ出す状態で決定されます。標準的なμModuleレギュレータの電気的接続はパッケージの底面なので、接合部からデバイスの上面に熱の大半が流れるようにアプリケーションが動作することは稀です。$\theta_{JCbottom}$の場合のように、この値はパッケージの比較には役立ちますが、このテスト条件は一般にアプリケーションに合致しません。
4. θ_{JB}(接合部からプリント回路基板までの熱抵抗)は、熱の大部分がμModuleパッケージの底面を通って基板に流れ出すときの接合部から基板までの熱抵抗であり、実際には、$\theta_{JCbottom}$と、デバイスの底面からハンダ接合部を通り、基板の一部までの熱抵抗の和です。基板温度は、パッケージから規定された距離をおいて測定されます。

前述の熱抵抗を図式化したものが図9です。青色の部分はμModuleレギュレータ内部の熱抵抗、緑色の部分はμModuleパッケージの外部に存在する熱抵抗です。

アプリケーション情報

実際には、JESD 51-12またはピン配置のセクションで定義されている4種類の熱抵抗パラメータは、個別でもいくつかの組み合わせでも、µModuleレギュレータの通常の動作条件を再現することも表現することもないので注意してください。例えば、通常の基板実装アプリケーションでは、デバイスの全電力損失(熱)の100%がµModuleパッケージの上面のみを通るか底面のみを通って熱的に伝達されることはありません。これは、θ_{JCtop}および$\theta_{JCbottom}$を標準規格で個々に定義しているのと同様です。実際には、電力損失はパッケージの両面から熱的に放散されます。ヒートシンクと空気流がない場合には、当然、熱流の大部分は基板に流れます。

LTM4657の内部では、電力損失を生じるパワー・デバイスや部品が複数存在するので、結果として、部品やダイの様々な接合部を基準にした熱抵抗は、パッケージの全電力損失に対して正確には線形になっていないことに注意してください。この複雑な問題をモデリングの簡潔性を犠牲にすることなく、(しかも実用的な現実性を無視せずに)解決するため、制御環境室でのラボ・テストと共にFEAソフトウェア・モデリングを使用するやり方を採用して、このデータシートに記載されている熱抵抗値を合理的に定義して相関をとります。(1)最初に、FEAソフトウェアを使用し、正しい材料係数に加えて正確な電力損失源の定義を使用することにより、LTM4657と指定のPCBの機械的形状モデルを高精度で作成します。(2)このモデルにより、JESD51-12に適合するソフトウェア定義のJEDEC環境のシミュレーションを行い、様々な界面での電力損失熱流と温度計測値を予測します。これにより、JEDEC定義の熱抵抗値を計算できます。(3)モデルとFEAソフトウェアを使用してヒートシンクと空気流がある場合のLTM4657の熱性能を評価します。(4)これらの熱抵抗値を計算して分析し、ソフトウェア・モデル内で様々な動作条件によるシミュレーションを行った上で、徹底した実験室評価を実施してシミュレーションで得た状態を再現します。具体的には、制御環境室内で、シミュレーションと同じ電力損失でデバイスを動作させながら、熱電対を使用して温度を測定します。このプロセスと必要な作業の結果、このデータシートに示す一連のディレーティング曲線が得られました。これらの実験室テストを実施して、LTM4657モデルと相関をとってから、θ_{JB}とθ_{BA}を合計すると、θ_{JA}の値に非常に近い値が得られます。これは、空気流や上面に実装したヒートシンクがない状態では、電力損失のほぼ100%が接合部から基板を通って周辺に流れるからです。

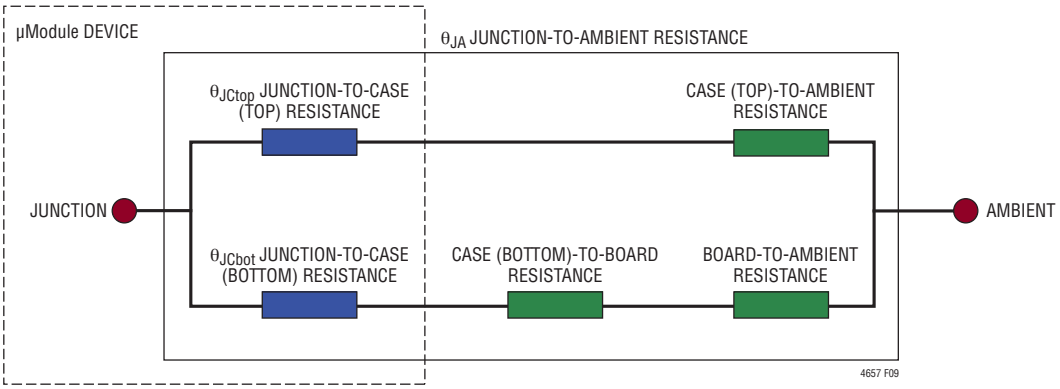

図9. 熱係数の模式図、JESD 51-12の熱係数を含む

アプリケーション情報

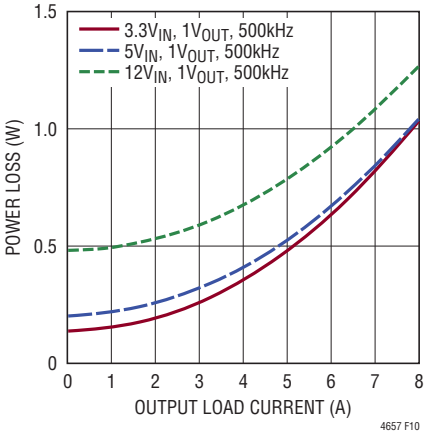

図10. 1V出力での電力損失

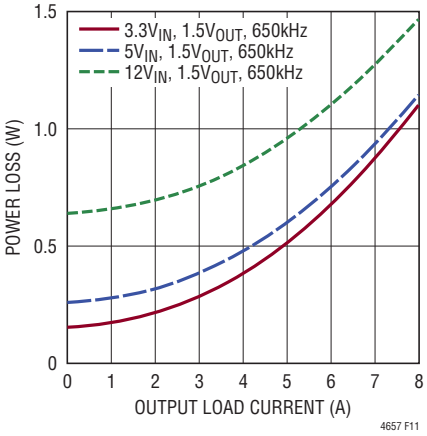

図11. 1.5V出力での電力損失

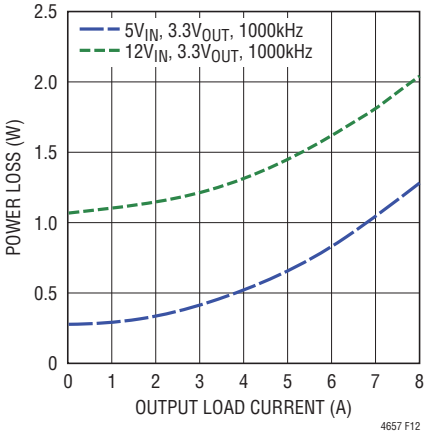

図12. 3.3V出力での電力損失

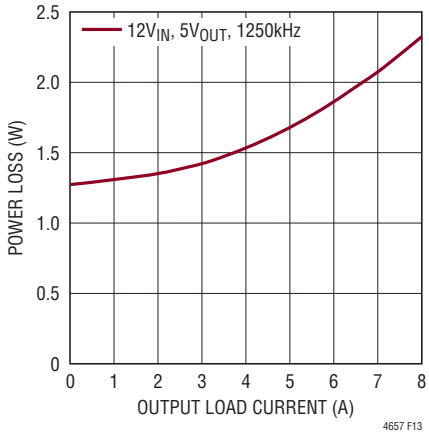

図13. 5V出力での電力損失

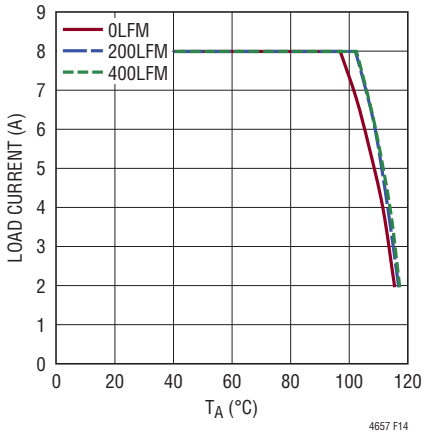

図14. 5V入力、1V出力の
ディレーティング曲線、
ヒートシンクなし

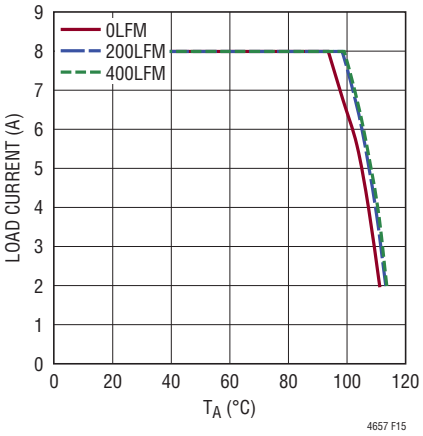

図15. 12V入力、1V出力の
ディレーティング曲線、
ヒートシンクなし

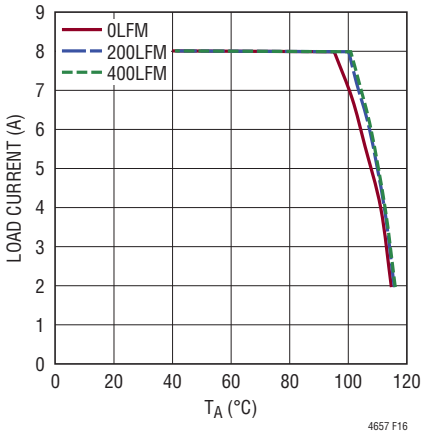

図16. 5V入力、1.5V出力の
ディレーティング曲線、ヒートシンクなし

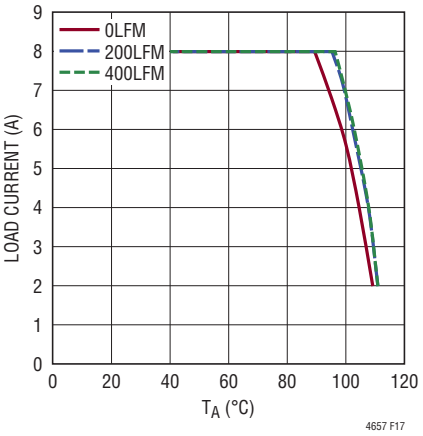

図17. 12V入力、1.5V出力の
ディレーティング曲線、ヒートシンクなし

アプリケーション情報

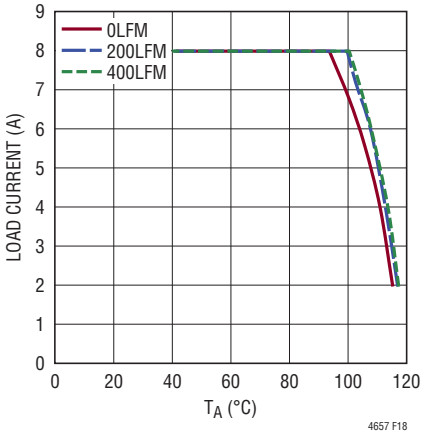

図18. 5V入力、3.3V出力の
ディレーティング曲線、ヒートシンクなし

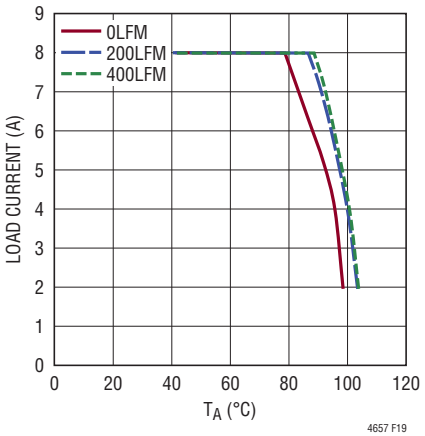

図19. 12V入力、3.3V出力の
ディレーティング曲線、ヒートシンクなし

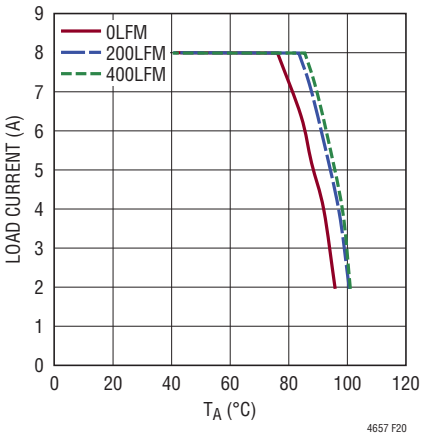

図20. 12V入力、5V出力の
ディレーティング曲線、
ヒートシンクなし

表3. 1.0V出力

ディレーティング曲線	V_{IN} (V)	電力損失曲線	空気流 (LFM)	ヒートシンク	θ_{JA} (°C/W)
図14, 図15	5, 12	図10	0	None	17
図14, 図15	5, 12	図10	200	None	14.5
図14, 図15	5, 12	図10	400	None	13.5

表4. 1.5V出力

ディレーティング曲線	V_{IN} (V)	電力損失曲線	空気流 (LFM)	ヒートシンク	θ_{JA} (°C/W)
図16, 図17	5, 12	図11	0	None	17
図16, 図17	5, 12	図11	200	None	14.5
図16, 図17	5, 12	図11	400	None	13.5

表5. 3.3V出力

ディレーティング曲線	V_{IN} (V)	電力損失曲線	空気流 (LFM)	ヒートシンク	θ_{JA} (°C/W)
図18, 図19	5, 12	図12	0	None	17
図18, 図19	5, 12	図12	200	None	14.5
図18, 図19	5, 12	図12	400	None	13.5

表6. 5V出力

ディレーティング曲線	V_{IN} (V)	電力損失曲線	空気流 (LFM)	ヒートシンク	θ_{JA} (°C/W)
図20	12	図13	0	None	17
図20	12	図13	200	None	14.5
図20	12	図13	400	None	13.5

アプリケーション情報

図10～図13の1.0V、1.5V、3.3V、5Vの電力損失曲線を図14～図20の負荷電流ディレーティング曲線と組み合わせて使用することにより、LTM4657の概略のθ_{JA}熱抵抗を様々な空気流条件で計算できます。電力損失曲線は室温で測定されますが、周囲温度に応じた倍率で増加します。この近似倍率は、ジャンクション温度が120°Cのとき1.2です。ジャンクション温度が120°C（125°Cの最大ジャンクション温度から5°Cのガード・バンドをとった値）より低い限り、周囲温度が高くなっても最大負荷電流を流すことができます。ジャンクション温度が120°Cになる温度まで周囲温度が到達すると、負荷電流が減少してジャンクション温度を120°Cに維持する一方で、周囲温度は最大120°Cまで上昇します。ディレーティング曲線は、8Aを始点とする出力電流と、30°Cを始点とする周囲温度の関数としてプロットされます。出力電圧は1.0V、1.5V、3.3V、5Vです。これらの数値が選ばれたのは、低めおよび高めの出力電圧範囲を含むようにして、熱抵抗の相関をとるためです。熱モデルは、恒温槽での数回の温度計測と熱モデリング解析から得られます。空気流ありと空気流なしの条件で周囲温度を上げながらジャンクション温度をモニタします。ディレーティング曲線には、周囲温度の変化に応じた電力損失の増加が加味されます。周囲温度の上昇に合わせて出力電流つまり電力が減少するので、ジャンクション温度は最大で120°Cに維持されます。出力電流が減少することにより、周囲温度が上昇するにつれて内部モジュールの損失は減少します。モニタされた120°Cのジャンクション温度から周囲動作温度を差し引いた値は、どれだけのモジュール温度の上昇を許容できるかを規定します。一例として、図17では、空気流やヒートシンクなしで約100°Cのとき、負荷電流は約5.5Aにディレーティングされ、12V入力から1.5V/5.5A出力を得る場合の電力損失は約1.2Wです。1.2Wの損失は、12V入力、1.5V/5.5A出力での電力損失曲線から得られる約1Wの室温での損失と、120°Cのジャンクション温度での1.2の倍率を使用して計算します。120°Cのジャンクション温度から100°Cの周囲温度を引き、その差の20°Cを1.2Wで割ると16.8°C/Wの熱抵抗θ_{JA}が得られます。表4はこれと非常に近い17°C/Wの値を規定しています。表3、表4、表5、および表6は、空気流とヒートシンクの有無を条件として、1.0V出力、1.5V出力、3.3V出力、および5V出力の等価熱抵抗を示します。表3、表4、表5、表6で得られる様々な条件での熱抵抗に、周囲温度の関数として算出した電力損失を掛けると、周囲温度からの温度上昇値が得られ、この値から最大ジャンクション温度が得られます。室温での電力損失を代表的な性能特性のセクションの効率曲線から求めて、前述の周囲温度の倍率で調整することができます。プリント回路基板は1.6mm厚の4層構造で、外側2層には2オンス銅箔、内側2層には1オンス銅箔を使用しています。PCBの寸法は95mm×76mmです。このPCBに基づいた代表的な熱画像を図21に示します。

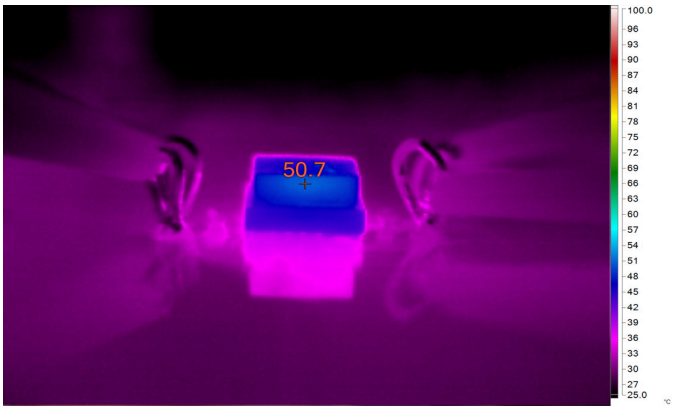

図21. LTM4657の熱画像（12V入力、1V出力、負荷電流8A、周囲温度25°C、空気流およびヒートシンクなしで動作）

アプリケーション情報

表7. 出力電圧応答と部品の表(図23参照)

C_{OUT1}	製品番号	値	C_{OUT2}	製品番号	値
Murata	GRM31CR60J107M	100µF, 6.3V, 1206, X5R	Murata	GRM31CR71A226K	22µF, 10V, 1206, X7R

V_{IN} (V)	V_{OUT} (V)	f_{SW} (kHz)	C_{OUT1} (セラミック・コンデンサ)	C_{OUT2} (セラミック・コンデンサ)	補償	C_{FF} (pF)	負荷ステップ (A)	負荷ステップのスルー・レート (A/µs)	P-P偏差 (mV)	回復時間 (µs)
5	1	500	2× 100µF	22µF	Internal, COMPa = COMPb	100	0 - 2	2	62	30
12	1	500	2× 100µF	22µF	Internal, COMPa = COMPb	100	0 - 2	2	65	30
5	1.5	650	2× 100µF	22µF	Internal, COMPa = COMPb	100	0 - 2	2	59	30
12	1.5	650	2× 100µF	22µF	Internal, COMPa = COMPb	100	0 - 2	2	67	30
5	2.5	800	2× 100µF	22µF	Internal, COMPa = COMPb	100	0 - 2	2	75	30
12	2.5	800	2× 100µF	22µF	Internal, COMPa = COMPb	100	0 - 2	2	82	30
5	3.3	1000	2× 100µF	22µF	Internal, COMPa = COMPb	100	0 - 2	2	92	50
12	3.3	1000	2× 100µF	22µF	Internal, COMPa = COMPb	100	0 - 2	2	107	50
12	5	1250	2× 100µF	22µF	Internal, COMPa = COMPb	100	0 - 2	2	142	50

安全性に関する検討事項

LTM4657モジュールでは、V_{IN}とV_{OUT}の間が電気的に絶縁されていません。内部にヒューズはありません。必要に応じて、最大入力電流の2倍の定格の低速溶断ヒューズを使って各ユニットを致命的損傷から保護してください。デバイスはサーマル・シャットダウンおよび過電流保護機能を備えています。

レイアウトのチェックリスト/例

LTM4657は高度に集積化されているので、PCB基板のレイアウトが非常に簡単です。ただし、電気的性能と熱的性能を最適化するには、更にレイアウト上の配慮がいくつか必要です。

- V_{IN}、GNDおよびV_{OUT}を含む大電流経路では、PCBの銅箔面積を広くします。PCBの導通損失と熱ストレスを最小に抑えるのに役立ちます。
- 入力と出力の高周波用セラミック・コンデンサをV_{IN}、PGNDおよびV_{OUT}の各ピンに隣接させて配置し、高周波ノイズを最小に抑えます。
- デバイスの下に専用の電源グラウンド層を配置します。
- ビアの導通損失を最小限に抑え、モジュールの熱ストレスを減らすため、トップ層と他の電源層の間の相互接続に複数のビアを使用します。
- 充填ビアまたはメッキビアでない限り、パッドの上に直接ビアを置かないでください。
- 信号ピンからは、モニタリング用にテスト・ポイントを引き出してください。
- CLKIN、CLKOUT、FREQピン間のパターンは間隔をあけて、これらの信号間のクロストークによるノイズの可能性を最小限に抑えてください。

推奨レイアウトの良い例を図22に示します。

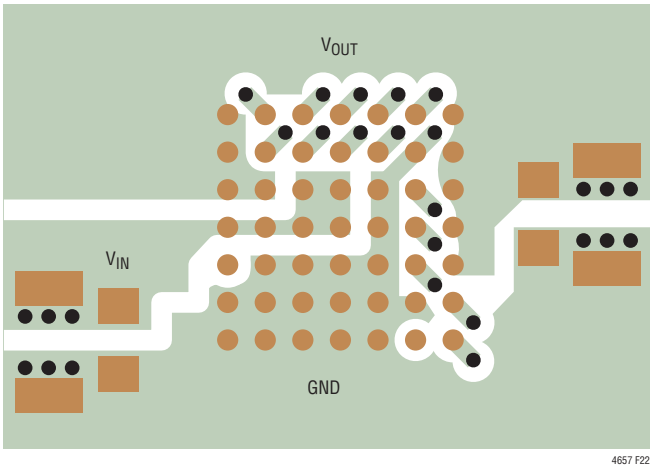

図22. 推奨のPCBレイアウト

アプリケーション情報

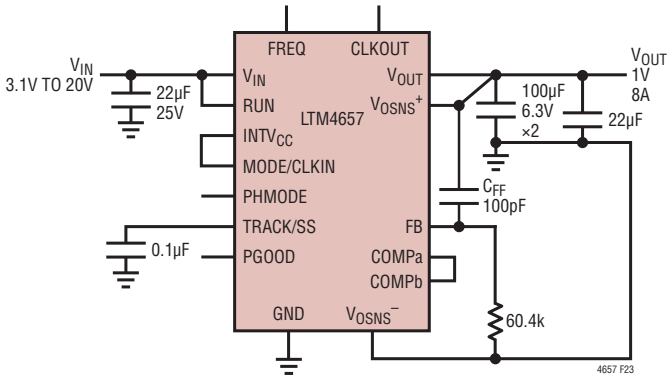

図23. 3.1V～20V入力、1V/8A出力の設計

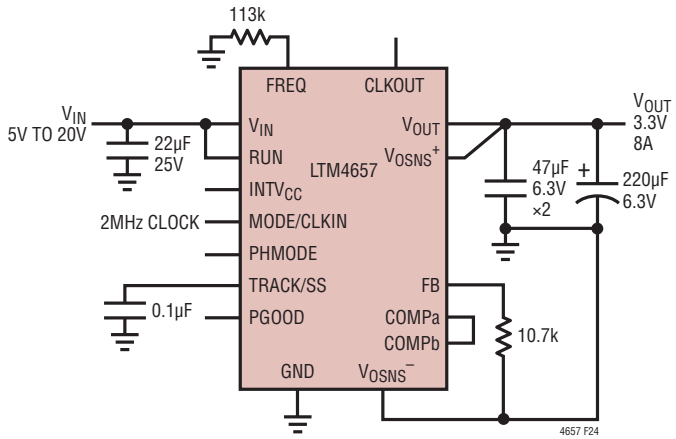

図24. 5V～20V入力、3.3V出力、外部クロック2MHzの設計

アプリケーション情報

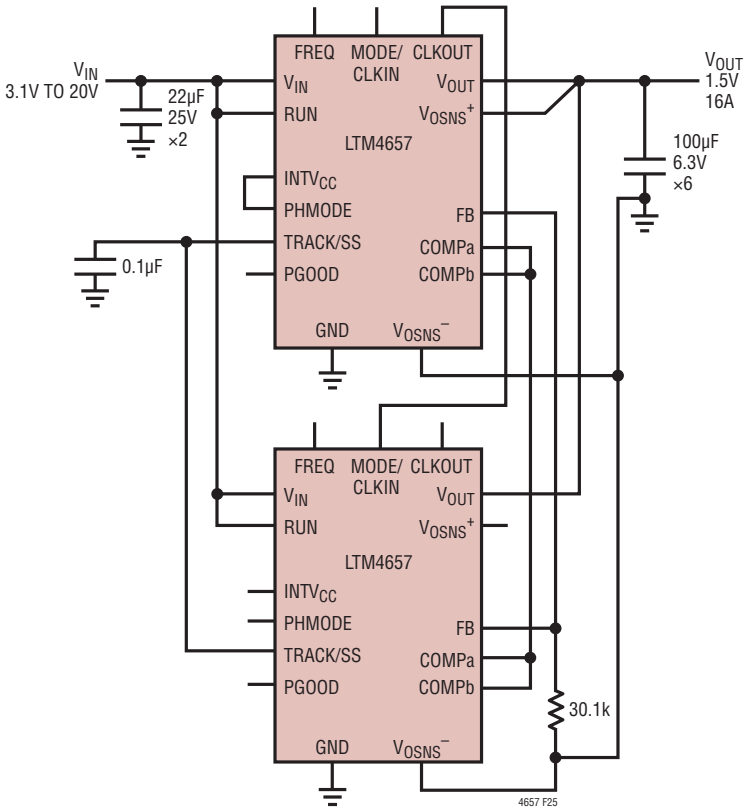

図25. 3.1V～20V入力、2相、1.5V/16A出力の設計

アプリケーション情報

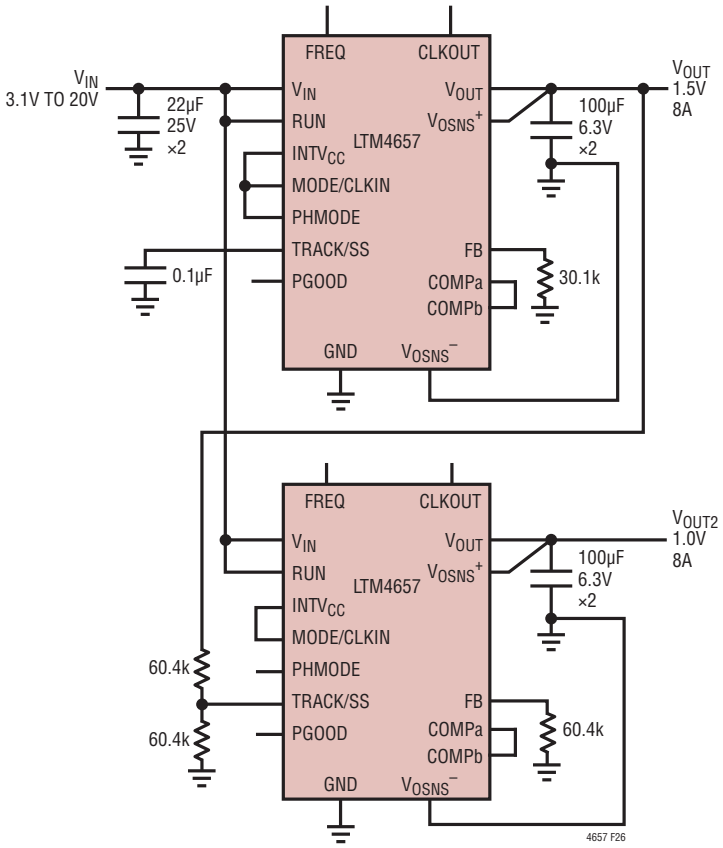

図26. 3.1V～20V入力、1.0Vおよび1.5V出力、同時トラッキングありの設計

パッケージ

パッケージの行と列のラベルはμModule製品間で異なります。各パッケージのレイアウトをよく確認してください。

LTM4657の構成要素のBGAピン配列

PIN ID	FUNCTION	PIN ID	FUNCTION	PIN ID	FUNCTION	PIN ID	FUNCTION	PIN ID	FUNCTION	PIN ID	FUNCTION	PIN ID	FUNCTION
A1	V_{OUT}	A2	V_{OUT}	A3	V_{OUT}	A4	V_{OUT}	A5	V_{OUT}	A6	$T_{SENSE}+$	A7	$T_{SENSE}–$
B1	V_{OSNS}^{+}	B2	GND	B3	$INTV_{CC}$	B4	RUN	B5	PGOOD	B6	GND	B7	SW
C1	FB	C2	$V_{OSNS}^{–}$	C3	GND	C4	GND	C5	GND	C6	GND	C7	GND
D1	COMPa	D2	MODE/CLKIN	D3	V_{IN}	D4	V_{IN}	D5	GND	D6	GND	D7	GND
E1	FREQ	E2	TRACK/SS	E3	V_{IN}	E4	V_{IN}	E5	GND	E6	GND	E7	GND
F1	COMPb	F2	CLKOUT	F3	V_{OUT}	F4	V_{IN}	F5	GND	F6	GND	F7	GND
G1	V_{OUT}	G2	V_{OUT}	G3	V_{OUT}	G4	V_{IN}	G5	PHMODE	G6	GND	G7	GND

パッケージ

BGA Package
49-Lead (6.25mm × 6.25mm × 3.87mm)
(Reference LTC DWG# 05-08-1573 Rev A)

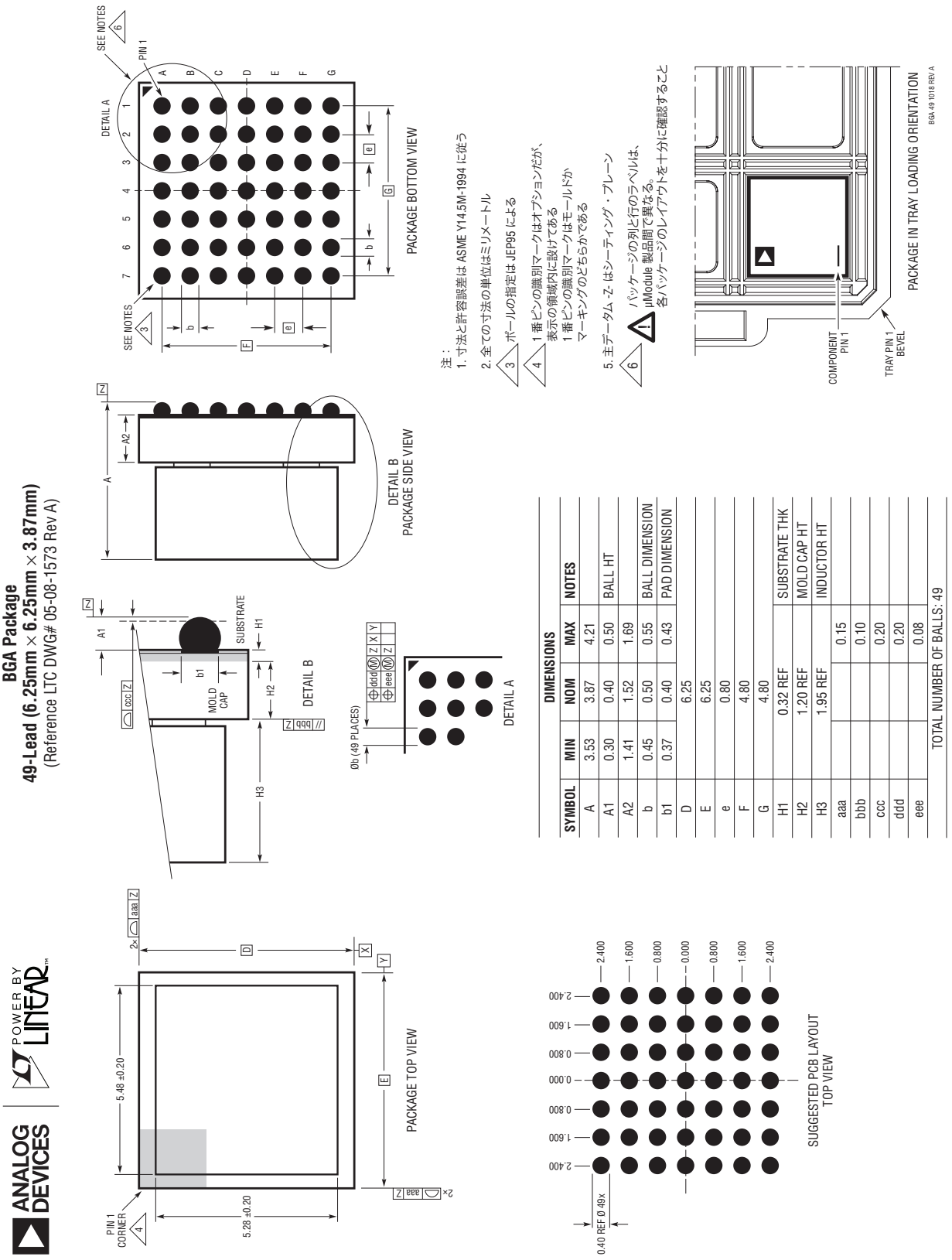

注：
1. 寸法と許容誤差は ASME Y14.5M-1994 に従う
2. 全ての寸法の単位はミリメートル
3. ボールの指定は JEP95 による
4. 1番ピンの識別マークはオプションだが、表示の領域内に設けてある
   1番ピンの識別マークはモールドかマーキングのどちらかである
5. 主データム -Z- はシーティング・プレーン
6. パッケージの列と行のラベルは、µModule 製品間で異なる。各パッケージのレイアウトを十分に確認すること

DIMENSIONS				
SYMBOL	MIN	NOM	MAX	NOTES
A	3.53	3.87	4.21	
A1	0.30	0.40	0.50	BALL HT
A2	1.41	1.52	1.69	
b	0.45	0.50	0.55	BALL DIMENSION
b1	0.37	0.40	0.43	PAD DIMENSION
D		6.25		
E		6.25		
e		0.80		
F		4.80		
G		4.80		
H1		0.32 REF		SUBSTRATE THK
H2		1.20 REF		MOLD CAP HT
H3		1.95 REF		INDUCTOR HT
aaa			0.15	
bbb			0.10	
ccc			0.20	
ddd			0.20	
eee			0.08	
TOTAL NUMBER OF BALLS: 49				

アナログ・デバイセズ社は、提供する情報が正確で信頼できるものであることに万全を期していますが、その利用に関して、あるいは利用によって生じる第三者の特許やその他の権利の侵害に関して一切の責任を負いません。仕様は予告なく変更される場合があります。アナログ・デバイセズ社の特許または特許の権利の使用を明示的または暗示的に許諾するものでもありません。

パッケージの写真

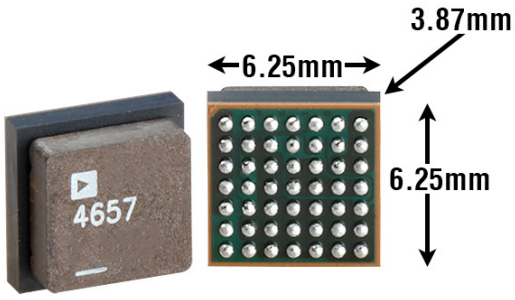

デザイン・リソース

主題	説明	
µModuleの設計／製造リソース	設計: • 選択ガイド • デモ・ボードおよびガーバー・ファイル • 無料シミュレーション・ツール	製造: • クイック・スタート・ガイド • PCBの設計、組立、および製造ガイドライン • パッケージおよびボード・レベルの信頼性
µModuleレギュレータ製品の検索	1. 製品の表をパラメータによって並べ替え、結果をスプレッドシートとしてダウンロードする 2. Quick Power Searchパラメトリック・テーブルを使って検索を実行する Quick Power Search INPUT | V_{in}(Min) V V_{in}(Max) V OUTPUT | V_{Out} V I_{out} A FEATURES | Low EMI Ultrathin Internal Heat Sink Multiple Outputs Search	
デジタル・パワー・システム・マネージメント	アナログ・デバイセズのデジタル電源管理デバイス・ファミリは、電源の監視、管理、マージン制御およびシーケンス制御などの基本機能を提供する高度に集積されたソリューションであり、設定と障害ログを格納するEEPROMを搭載しています。	

関連製品

製品番号	説明	注釈
LTM4626	12AµModuleレギュレータ。LTM4657とピン互換。	3.1V ≤ V_{IN} ≤ 20V、0.6V ≤ V_{OUT} ≤ 5.5V。6.25mm×6.25mm×3.87mm BGA
LTM4638	15A µModuleレギュレータLTM4657とピン互換。	3.1V ≤ V_{IN} ≤ 20V、0.6V ≤ V_{OUT} ≤ 5.5V。6.25mm×6.25mm×5.02mm BGA
LTM4625	5A µModuleレギュレータ	4V ≤ V_{IN} ≤ 20V、0.6V ≤ V_{OUT} ≤ 5.5V。6.25mm×6.25mm×5.01mm BGA
LTM4649	10AµModuleレギュレータ	4.5V ≤ V_{IN} ≤ 16V、0.6V ≤ V_{OUT} ≤ 3.3V。9mm×15mm×4.92mm BGA
LTM4622	デュアル2.5Aまたはシングル5A µModuleレギュレータ	3.6V ≤ V_{IN} ≤ 20V、0.6V ≤ V_{OUT} ≤ 5.5V。6.25mm×6.25mm×1.82mm LGA、2.42mm BGA.
LTM4646	デュアル10Aまたはシングル20A µModuleレギュレータ	4.5V ≤ V_{IN} ≤ 20V、0.6V ≤ V_{OUT} ≤ 5.5V。11.25mm×15mm×5.01mm BGA
LTM4662	デュアル15Aまたはシングル30A µModuleレギュレータ	4.5V ≤ V_{IN} ≤ 20V、0.6V ≤ V_{OUT} ≤ 5.5V。11.25mm×15mm×5.74mm BGA
LTM4668/ LTM4668A	構成可能なクワッド1.2AµModuleレギュレータ	2.7V ≤ V_{IN} ≤ 17V、0.6V ≤ V_{OUT} ≤ 1.8V（LTM4668Aでは5.5V）。6.25mm×6.25mm×2.1mm BGA
LTM4643	構成可能なクワッド3AµModuleレギュレータ	4V ≤ V_{IN} ≤ 20V、0.6V ≤ V_{OUT} ≤ 3.3V。9mm×15mm×1.82mm LGA、2.42mm BGA。
LTM4644	構成可能なクワッド4AµModuleレギュレータ	4V ≤ V_{IN} ≤ 14V、0.6V ≤ V_{OUT} ≤ 5.5V。9mm×15mm×5.01mm BGA

©ANALOG DEVICES, INC. 2020